

赞皇杂岩官都岩群时代与物源

——来自黑云变粒岩与石英岩碎屑锆石 U-Pb-Hf 同位素与稀土元素组成的约束

刘平华¹, 杨崇辉¹, 杜利林¹, 田忠华¹, 邹雷², 王义龙^{1, 3}, 张宇佳^{1, 3}

(1. 中国地质科学院 地质研究所, 北京 100037; 2. 中国科学院 地质与地球物理研究所, 北京 100029;
3. 东华理工大学 核资源与环境国家重点实验室, 江西南昌 330013)

摘要: 官都岩群是华北克拉通中部造山带赞皇杂岩中重要的变质火山-沉积岩系, 经历了高绿片岩相-高角闪岩相变质, 准确限定其沉积时代与物质来源对探究中部造山带新太古代-古元古代构造演化过程具有重要意义。利用 LA-MC-ICP-MS(多接收激光剥蚀电感耦合等离子质谱仪)与 TIMA(矿物自动分析系统)对官都岩群中黑云变粒岩与石英岩进行了锆石矿物包体、U-Pb-Hf 同位素与稀土元素原位分析。根据碎屑锆石内部矿物包体组成、阴极发光图像特征与 U-Pb 年龄结果, 认为黑云变粒岩与石英岩中碎屑锆石中最年轻一组的 $^{207}\text{Pb}/^{206}\text{Pb}$ 谐和年龄分别为 2 544 Ma 或 2 536 Ma, 大致限定了其原岩的最老沉积时代, 结合区内黄盆花岗岩岩体侵入官都岩群的野外地质关系, 推测官都岩群沉积时代为新太古代末期, 并非古元古代。官都岩群黑云变粒岩与石英岩碎屑锆石年龄图谱十分相似, 最主要的峰值年龄为 2 512 Ma, 结合碎屑锆石内部矿物包体与结构特征, 认为官都岩群主要物源为新太古代晚期中酸性岩浆岩。两阶段锆石 Hf 模式年龄揭示 2 850 ~ 2 700 Ma 为赞皇杂岩最强烈的地壳生长阶段。综合本文与中部造山带已发表的数据, 认为官都岩群黑云变粒岩与石英岩中变质锆石记录了 ~2 500 Ma 的变质年龄, 表明华北克拉通中部造山带普遍遭受了 ~2 500 Ma 变质作用, 该期变质作用可能与新太古代晚期华北克拉通初步克拉通化有关。

关键词: 赞皇杂岩; 官都岩群; 变粒岩; 石英岩; 碎屑锆石

中图分类号: P588.34⁺⁶; P588.34⁺¹

文献标识码: A

文章编号: 1000-6524(2022)02-0247-34

Depositional age and provenance of the Guandu Group in the Zanhuang Complex, North China Craton: Constraints from detrital zircon U-Pb-Hf isotopic and rare earth element compositions in the biotite leptynite and quartzite

LIU Ping-hua¹, YANG Chong-hui¹, DU Li-lin¹, TIAN Zhong-hua¹, ZOU Lei², WANG Yi-long^{1, 3} and ZHANG Yu-jia^{1, 3}

(1. Institute of Geology, Chinese Academy of Geological Sciences, Beijing 100037, China; 2. Institute of Geology and Geophysics, Chinese Academy of Sciences, Beijing 100029, China; 3. State Key Laboratory of Nuclear Resources and Environment, East China University of Technology, Nanchang 330013, China)

Abstract: The Guandu Group, which has undergone high greenschist to high amphibolite facies metamorphism, is an important meta-volcanic and meta-sedimentary rock sequence in the Zanhuang Complex of the Trans-North China Orogen, North China Craton. Depositional age and provenance of the Guandu Group are vital for understanding the

收稿日期: 2021-09-30; 接受日期: 2021-12-15; 编辑: 尹淑苹

基金项目: 国家自然科学基金(41972205, 41772191, 41672191); 中国地质调查局项目(DD20221649, DD20190003, DD20190370)

作者简介: 刘平华(1981-), 男, 研究员, 主要从事早前寒武纪变质岩石学研究, E-mail: lph1213@126.com。

Neoarchean-Paleoproterozoic tectonic evolution of the Trans-North China Orogen. In this study, LA-MC-ICP-MS (laser ablation multi-collector inductively coupled plasma mass spectrometry) and TIMA (tescan inergrated mineral analyser) were used to analyze mineral inclusions, U-Pb-Hf isotope and rare earth element compositions of zircons in the biotite leptynite and quartzite in the Guandu Group. Based on the mineral inclusions, internal structure, and U-Pb ages of zircons, the concordant $^{207}\text{Pb}/^{206}\text{Pb}$ age of 2 544 Ma or 2 536 Ma in the youngest group of detrital zircons is chosen as the maximal depositional timing of the Guandu Group. Combined with the geological relationship which the Guandu Group was intruded by the Huangcha granites, it is speculated that the depositional age of the Guandu Group wasn't Paleoproterozoic but late Neoarchean. Detrital zircon age patterns from the biotite leptynite and quartzite samples are similar and are characterized by the major peak of 2 512 Ma. Combined with the mineral inclusions and internal structure of the detrital zircons, it is suggested that the main provenance of the Guandu Group is the late Neoarchean intermediate-acid magmatic rocks. Two stage Hf isotopic model ages of detrital zircon reveals that the intensive crustal growth in the Zanhua Complex was concentrated from 2 850 Ma to 2 700 Ma. In addition, the new and published data from the Trans-North China Orogen reveal that the zircons in the Guandu Group recorded the consistent metamorphic age of ca. 2 500 Ma, similar to other complexes in the Trans-North China Orogen, indicating that the Trans-North China Orogen also experienced an intense regional metamorphism in ca. 2 500 Ma, which may be related to the late Neoarchean initial cratonization of the North China Craton.

Key words: Zanhua Complex; Guandu Group; leptynite; quartzite; detrital zircon

Fund support: National Natural Science Foundation of China (41972205, 41772191, 41672191); Project of China Geological Survey (DD20221649, DD20190003, DD20190370)

华北克拉通中部造山带主要由太古宙-古元古代变质基底和中元古代-新生代的盖层组成(Zhao et al., 2005, 2012; Zhao and Zhai, 2013; Tang and Santosh, 2018),带内早前寒武纪变质基底经历了长期而复杂的地质过程,较为全面地记录了华北克拉通太古宙-古元古代不同阶段的演化历史(Kusky and Li, 2003; Zhao et al., 2005, 2012; Kröner et al., 2005, 2006; Faure et al., 2007; Zhang et al., 2007, 2009; Trap et al., 2009a, 2009b, 2012; Wang Z et al., 2010; Diwu et al., 2011; Zhai and Santosh, 2011, 2013; Du et al., 2015, 2016a, 2016b, 2017; Wang J P et al., 2015, 2017a, 2017b; Kusky et al., 2016)。中部造山带太古宙-古元古代变质基底的深入研究,不仅对准确刻画华北克拉通早前寒武纪地质过程,而且对探究地球早期的动力学演变过程具有重要意义。赞皇杂岩位于华北克拉通中部造山带中南段东侧,是研究华北克拉通中部造山带新太古代-古元古代构造演化的关键地区,近年来备受关注,尤其是前人对赞皇地区新太古代-古元古代花岗岩类、古元古代变沉积岩(如甘陶河群)和古元古代变质作用都有较详细的研究(牛树银等,1994;杨崇辉等,2011a, 2011b, 2015; Xiao et al., 2011, 2014; Yang et al., 2013; Du et al., 2016b; Wang et

al., 2017a, 2017b; Zou et al., 2021)。而针对官都岩群的研究较为薄弱,目前对官都岩群的形成时代与环境存在两种截然不同的认识,一种观点认为其形成于古元古代的被动大陆边缘(Li et al., 2016; Tang et al., 2016);而另一种观点认为官都岩群属于新太古代晚期混杂岩带(Wang et al., 2017a, 2017b; Zhong et al., 2021)。因此,本文以官都岩群中的黑云变粒岩与石英岩为研究对象,在野外地质观测与薄片观察的基础上,对其进行锆石矿物包体、U-Pb-Hf同位素与稀土元素分析,以期进一步限定官都岩群的沉积时代,初步探讨赞皇杂岩新太古代晚期变质事件的地质意义。

1 地质概况

赞皇杂岩位于华北克拉通中部造山带中段东侧,北侧为阜平杂岩,东西宽40~60 km,南北长约140 km,总体呈纺锤形的北北东-南南西向展布(牛树银等,1994; Trap et al., 2012)。现有研究资料表明,赞皇杂岩新太古代-古元古代变质基底主要包括新太古代TTG片麻岩、新太古代晚期壳熔花岗质片麻岩、新太古代赞皇岩群、新太古代-古元古代官都岩群、古元古代甘陶河群和古元古代变基性

岩与花岗岩(河北省地质矿产局, 1989; 王岳军等, 2003; 杨崇辉等, 2011a, 2011b; Xie et al., 2012; Yang et al., 2013; Du et al., 2016b)。近年来, 前人对该杂岩陆续进行了相关研究(Wang et al., 2015, 2017a, 2017b; Tang et al., 2016; Li et al., 2016; 李伦等, 2017; Xiao et al., 2021; Zou et al., 2021)。其中, 新太古代 TTG 片麻岩主要为 2 750 ~ 2 700 Ma 英云闪长质片麻岩(Yang et al., 2013)和 2 550 ~ 2 500 Ma 英云闪长质-花岗闪长质片麻岩(杨崇辉等, 2011b, 2015), 这些 TTG 片麻岩被解释为俯冲背景下板片熔融形成的(杨崇辉等, 2011b, 2015; Yang et al., 2013); 而新太古代晚期壳熔花岗质片麻岩则指示同碰撞或后碰撞的构造环境(杨崇辉等, 2011b, 2015; Yang et al., 2013), 并以黄岱岩体为代表, 该岩体呈岩株状出露于河北省邢台市西部山区, 主要由片麻状、似斑状二长花岗岩组成, 前人对该岩体开展了 LA-ICP-MS 锆石 U-Pb 测年, 获得岩体形成时代为 2 488 Ma(李伦等, 2017)。赞皇岩群主要呈残片状分布于 TTG 片麻岩中, 为一套中高级变质杂岩, 主要包括条带状黑云斜长/二长片麻岩、(石榴)斜长角闪岩与条带状石榴蓝晶黑云斜长/二长片麻岩等岩石(Xiao et al., 2011, 2014; Zou et al., 2021)。官都岩群呈 NE-SW 狹长的带状展布于赞皇杂岩中部, 主要包括(绿帘)斜长角闪岩、(透闪)大理岩、黑云变粒岩、(长石)石英岩以及少量石榴黑云斜长片麻岩与云母(石英)片岩等, 经历了高绿片岩相-高角闪岩相变质作用(王启超等, 2008; Trap et al., 2009b; Zhong et al., 2021)。甘陶河群出露于赞皇杂岩西北部, 呈近南北向分布, 主要岩石类型包括变质砂岩与变质玄武岩, 局部夹板岩与碳酸盐岩, 普遍遭受了绿片岩相变质(河北省地质矿产局, 1989; Liu et al., 2012; Xie et al., 2012; 杨崇辉等, 2015; Du et al., 2016b), 根据甘陶河群变质中酸性火山岩与变质砂岩中锆石 U-Pb 定年结果, 甘陶河群的时代为 2 100 ~ 1 900 Ma(Du et al., 2016b)。相关研究表明, 古元古代花岗岩主要分布于赞皇杂岩西北部(杨崇辉等, 2011a), 以许亭花岗岩最为典型, 呈岩基状侵入新太古代 TTG 片麻岩和赞皇岩群中, 主要由钾长花岗岩与二长花岗岩组成, 含少量钠长花岗岩, 无暗色包体, 偶见围岩的捕掳体, 局部含少量钾长石斑晶, 构成似斑状结构。SHRIMP 锆石 U-Pb 定年与地球化学研究结果表明, 许亭花岗岩侵位时代为

2 090 ~ 2 070 Ma, 具有 A 型花岗岩的地球化学特征, 可能形成于陆内裂谷环境(杨崇辉等, 2011a; Du et al., 2016a)。

2 野外地质关系与岩石学特征

样品 21ZT20-1(黑云变粒岩)采自内丘县南寨乡萨岭村西北约 2.5 km 省道 S328 公路旁(图 1), 经纬度坐标为 37°20'13.45"(北纬)、114°16'32.64"(东经), 属于官都岩群下段(河北省地质矿产局, 1989)。如图 2 所示, 在省道 S328 公路旁约 100 m 范围内, 出露的主体为官都岩群黑云变粒岩和石英岩夹云母(石英)片岩; 在黑云变粒岩的露头上断续出露花岗质细脉, 有的花岗质细脉因遭受了强烈的剪切作用而透镜化; 在弱变形域, 黑云变粒岩或石英岩常分布有云母石英片岩薄层, 显示了变余粒序层理的特征。野外构造观测表明, 云母石英片岩片理倾向西偏北 310°, 倾角约为 20°。黑云变粒岩新鲜面呈灰白色, 细粒鳞片粒状变晶结构, 块状构造, 主要矿物包括钾长石、石英与黑云母, 钾长石以微斜长石为主, 含少量斜长石、电气石与钛铁矿(图 3), 副矿物主要包括锆石、独居石、磷钇矿、金红石与磷灰石。根据野外产状与矿物组成特征, 推测其原岩为泥砂质沉积岩。

样品 21ZT22-1(石英岩)采自邢台县北小庄镇雀寨村东约 3 km 板车山路旁(图 1), 经纬度坐标为 37°17'41.88"(北纬)、114°10'35.83"(东经), 亦属于官都岩群下段(河北省地质矿产局, 1989)。如图 2 所示, 该点石英岩先后至少经历了两期变形作用, 早期变形以形成露头尺度的同斜紧闭褶皱为特征, 野外可见其轴面发生弯曲, 并叠加了第 2 期宽缓褶皱; 第 2 期构造变形以形成相对较大的宽缓褶皱与窗棂构造为特征, 并伴随有花岗伟晶岩的侵入。石英岩新鲜面为灰白色, 中细粒粒状变晶结构, 块状构造, 局部因强烈的剪切与挤压变形, 片理构造与宽缓褶皱较为发育, 其主要组成矿物为石英, 含少量斜长石(图 3), 副矿物主要包括锆石、独居石、磷钇矿、金红石和磷灰石。

官都岩群石英岩与黄岱岩体以韧性剪切构造接触为主, 在接触界线附近, 官都岩群的石英岩和黄岱岩体均发生了强烈的韧性剪切变形, 形成了典型的糜棱岩带(李伦等, 2017), 如图 2f~2i 所示, 但局部仍可见黄岱花岗岩侵入并包裹官都岩群石英岩

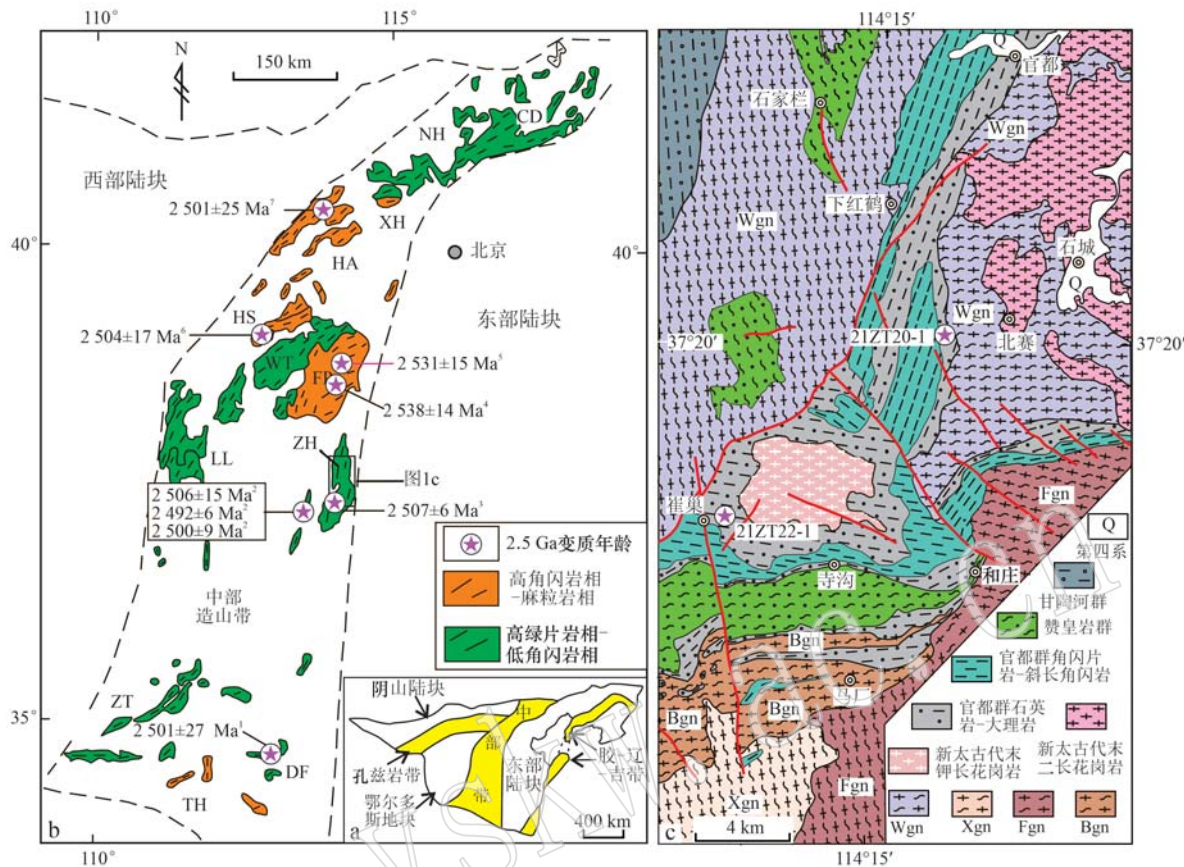


图1 华北克拉通中部造山带(a, b, Zhao et al., 2005)与赞皇杂岩(c, 王启超等, 2008)前寒武纪地质简图

Fig. 1 Simplified geological map of the Trans-North China Orogen (a, b, Zhao et al., 2005) and Zanhua Complex (c, Wang Qichao et al., 2008) in the North China Craton showing the exposure of Archaean to Paleoproterozoic basement rocks

图1b 中变质杂岩缩写: CD—承德变质杂岩; NH—冀北变质杂岩; XH—宣化变质杂岩; HA—怀安变质杂岩; HS—衡山变质杂岩; WT—五台变质杂岩; FP—阜平变质杂岩; LL—吕梁变质杂岩; ZH—赞皇变质杂岩; ZT—中条山变质杂岩; DF—登封变质杂岩; TH—太华变质杂岩; 图1b 中数据来源: 1—Huang et al. (2020); 2—肖玲玲等 (2019); 3—Xiao et al. (2014); 4—王建龙等 (2020); 5—程裕淇等(2004); 6—Qian and Li (2021); 7—刘平华等(未发表数据); 图1c 中变质侵入体缩写: Wgn—王家崇片麻岩; Xgn—西黄村片麻岩; Fgn—丰来峪片麻岩; Bgn—白虎庄片麻岩

the abbreviation of the metamorphic complex in Fig. 1b as follows: CD—Chengde Complex; NH—Jibei Complex; XH—Xuanhua Complex; HA—Huai'an Complex; HS—Hengshan Complex; WT—Wutai Complex; FP—Fuping Complex; LL—Luliang Complex; ZH—Zanhua Complex; ZT—Zhongtiaoshan Complex; DF—Dengfeng Complex; TH—Taihua Complex; the age data in Fig. 1b are cited by the following references: 1—Huang et al. (2020); 2—Xiao Lingling et al. (2019); 3—Xiao et al. (2014); 4—Wang Jianlong et al. (2020); 5—Cheng Yuqi et al. (2004); 6—Qian and Li (2021); 7—Liu Pinghua et al. (unpublished data); the metamorphic intrusions in Fig. 1c are abbreviated as follows: Wgn—Wangjiaochong orthogneiss; Xgn—Xihuancun orthogneiss; Fgn—Fenglaiyu orthogneiss; Bgn—Baihuazhuang orthogneiss

和细粒黑云斜长片麻岩, 表明官都岩群与黄岔岩体原来应为侵入接触关系。

3 分析方法

对黑云变粒岩和石英岩样品进行了锆石 U-Pb 测年、锆石稀土元素分析、锆石 TIMA 矿物包体鉴定和锆石 Hf 同位素测试。锆石分选在河北省区域地质矿产调查研究所实验室完成。锆石靶制备完成后, 对锆石颗粒进行透射光和反射光显微照片的拍摄, 以便了解锆石颗粒含包裹体和表面裂纹发育的

情况。最后将锆石靶镀金, 进行阴极发光图像(CL)照相以便观察锆石内部结构。锆石阴极发光图像(CL)拍摄在南京宏创地质勘查技术服务有限公司利用 TESCAN 场发射扫描电镜(型号 MIRA 3LMH)完成, 实验过程中加速电压 8 kV, 吸收电流 1.2 nA, 每 80 s 扫描一次。锆石内部矿物包体 TIMA 分析在南京宏创地质勘查技术服务有限公司采用配有 4 个能谱探头(EDAX Element 30)的 Mira-3 扫描电镜完成, 锆石靶在实验前进行喷碳, 实验中加速电压 25 kV, 电流 9 nA, 工作距离 15 mm, 电流和 BSE 信号强度使用铂法拉第杯自动程序校准, EDS 信号

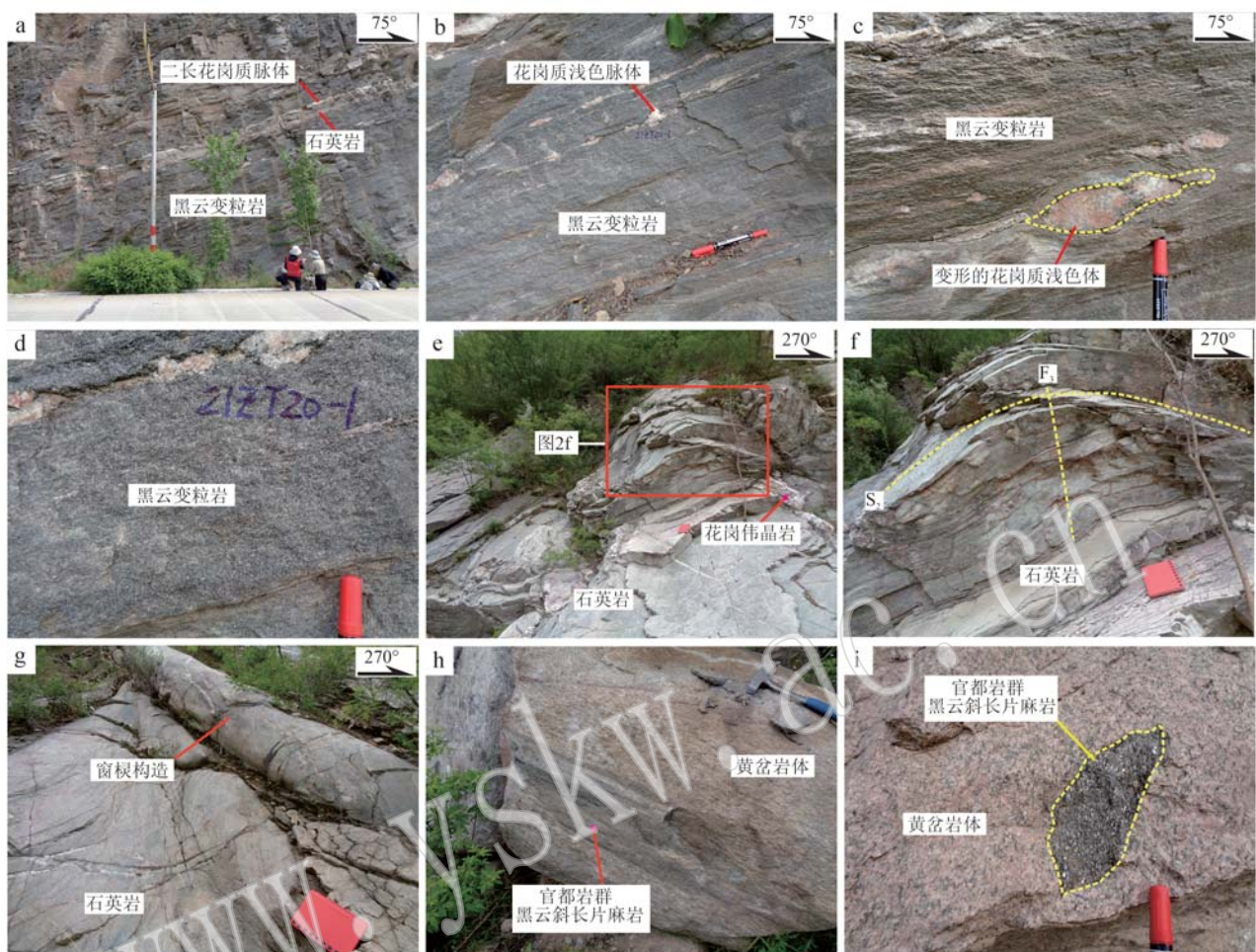


图2 赞皇杂岩官都岩群黑云变粒岩与石英岩野外露头照片

Fig. 2 Field photographs showing the outcrops of the biotite leptynite and quartzite from the Guandu Group in the Zanhuang Complex

a, b—官都岩群石英岩、黑云变粒岩与花岗质浅色脉体的野外远景与近景照片; c—官都岩群黑云变粒岩中变形的花岗质构造透镜体的野外露头近照; d—官都岩群中黑云变粒岩的露头近照; e, f—官都岩群石英岩中宽缓褶皱远景与近景照片; g—官都岩群石英岩中窗棂构造远景照片; h, i—黄岱岩体中官都岩群黑云斜长片麻岩包体的露头近照

a, b—the far and near field photographs showing the quartzite with biotite leptynite of the Guandu Group was intruded by the granitic veins; c—the field photographs showing the granitic veins within the with biotite leptynite of the Guandu Group was deformed and lentoid; d—the field photographs showing biotite leptynite of the Guandu Group was fine-grained and massive; e, f—the far and near field photographs showing the quartzites of the Guandu Group have undergone compression deformation and formed rolling fold; g—the field photographs showing the mullion structure of the quartzites of the Guandu Group; h, i—the field photographs showing the biotite plagioclase gneisses of the Guandu Group as xenoliths within the Huangcha Pluton

使用 Mn 标样校准。测试中使用解离模式, 同时获取 BSE 图和 EDS 数据, 每个点的 X 射线计数为 1 000。像素大小 3 μm , 能谱步长 9 μm 。

锆石 U-Pb 定年与稀土元素分析在南京宏创地质勘查技术服务有限公司完成。激光剥蚀平台采用 Resolution SE 型 193 nm 深紫外激光剥蚀进样系统 (Applied Spectra, 美国), 配备 S155 型双体积样品池。质谱仪采用 Agilent 7900 型电感耦合等离子体

质谱仪 (Agilent, 美国)。详细的调谐参数见 Thompson 等 (2018), 采用束斑直径 30 μm 、剥蚀频率 10 Hz、能量密度 3.5 J/cm²、扫描速度 3 $\mu\text{m}/\text{s}$ 的激光参数剥蚀 NIST 612, 调节气流以获得高的信号强度 ($^{238}\text{U} \sim 6 \times 10^5$ cps)、低的氧化物产率 ($\text{ThO}/\text{Th} < 0.2\%$)。锆石 U-Pb 年龄数据处理采用 Iolite 程序 (Paton *et al.*, 2010), 锆石 91500 作为校正标样, GJ-1 作为监测标样, 每隔 10~12 个样品点分析 2 个

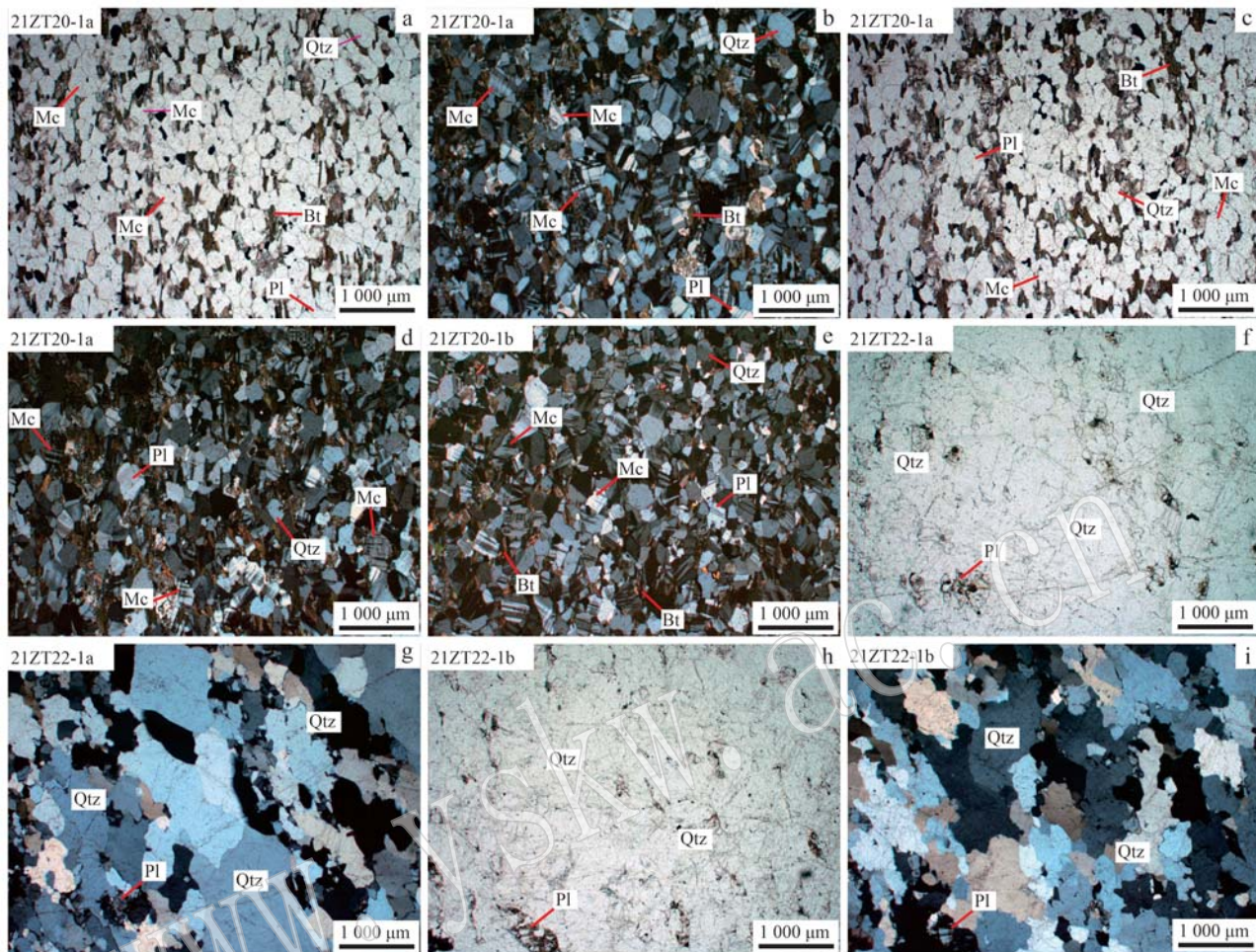


图 3 赞皇杂岩官都岩群黑云变粒岩与石英岩代表性显微照片(矿物缩写据沈其韩, 2009)

Fig. 3 Representative photomicrographs of the biotite leptynite and quartzite from the Guandu Group in the Zanhuan Complex
(mineral abbreviation after Shen Qihan, 2009)

a, b, c, d, e—官都岩群细粒黑云变粒岩主要变质矿物：石英(Quartz) + 微斜长石(Microcline) + 斜长石(Plagioclase) + 黑云母(Biotite), a, c 为单偏光；
b, d, e 为正交偏光；f, h—官都岩群中石英岩中主要矿物石英(Quartz)与微量矿物斜长石(Plagioclase), 单偏光；g, i—官都岩群石英岩中主要
矿物石英(Quartz)以及石英岩缝合线构造, 正交偏光

a, b, c, d, e—typical photomicrographs showing the main mineral assemblage of quartz + microcline + plagioclase + biotite identified in the biotite leptynite of the Guandu Group, a and c are plane polarized light (PPL), b, d and e are cross-polarized light (CPL); f, h—the main and minor mineral is quartz and plagioclase in the quartzite from the Guandu Group, respectively, PPL; g, i—the main and minor mineral is quartz and plagioclase in the quartzite from the Guandu Group, respectively, CPL

91500 标样及 1 个 GJ-1 标样。通常采集 20 s 的气体空白、35 ~ 40 s 的信号区间进行数据处理, 按指数方程进行深度分馏校正(Paton *et al.*, 2010)。以 NIST 610 作为外标,⁹¹Zr 作为内标计算微量元素含量。

锆石 Lu-Hf 同位素分析在南京大学内生金属与成矿机制国家重点实验室完成。分析过程中, 能量密度 6.0 J/cm², 束斑直径 50 μm, 频率 8 Hz, 共剥蚀 40 s, 剥蚀气溶胶由氦气送入 MC-ICP-MS 完成测试。测试过程中每隔 10 颗样品锆石交替测试 2 颗标准锆石(包括 GJ-1、91500、Plešovice、Mud Tank、

Penglai), 以检验锆石 Hf 同位素比值数据质量。

锆石 Hf 同位素数据处理过程: 首先采用¹⁷⁹Hf/¹⁷⁷Hf = 0.7325 获得 Hf 同位素质量歧视因子 β_{Hf} ; 通过锆石自身的¹⁷²Yb/¹⁷³Yb 实测数据, 获得 Yb 同位素质量歧视因子 β_{Yb} , 再采用¹⁷⁶Yb/¹⁷²Yb = 0.5887 (Vervoort *et al.*, 2004) 扣除¹⁷⁶Yb 对¹⁷⁶Hf 的同量异位干扰; 由于 Lu 只有¹⁷⁵Lu 与¹⁷⁶Lu 两个同位素, 因此假定 $\beta_{\text{Lu}} = \beta_{\text{Hf}}$, 再采用¹⁷⁶Lu/¹⁷⁵Lu = 0.02655 (Vervoort *et al.*, 2004) 扣除¹⁷⁶Lu 对¹⁷⁶Hf 的同质异位干扰。

4 锆石阴极发光图像特征

黑云变粒岩样品(21ZT20-1)中的锆石颗粒相对较小, 其粒度为50~140 μm, 呈紫红色, 以短柱状晶形为主, 少数颗粒为不规则状晶形, 长宽比为1:1~2.5:1。在锆石阴极发光图像中(图4), 绝大多数碎屑锆石具有中等发光效应(灰色-灰白色), 并可

见较为清晰的岩浆韵律环带, 少数锆石核部环带明显被切割或熔蚀(图4i)。锆石阴极发光图像、背散射电子图像与TIMA矿物相扫描分析表明(图5), 发育岩浆韵律环带的核部含有少量长英质矿物包体, 主要包括石英、钾长石、斜长石与磷灰石(图5), 尤其是在有的岩浆型碎屑锆石内部鉴别出钾长石+石英+斜长石的多相矿物包体, 进一步证明这些锆石是从花岗质岩浆中晶出的。

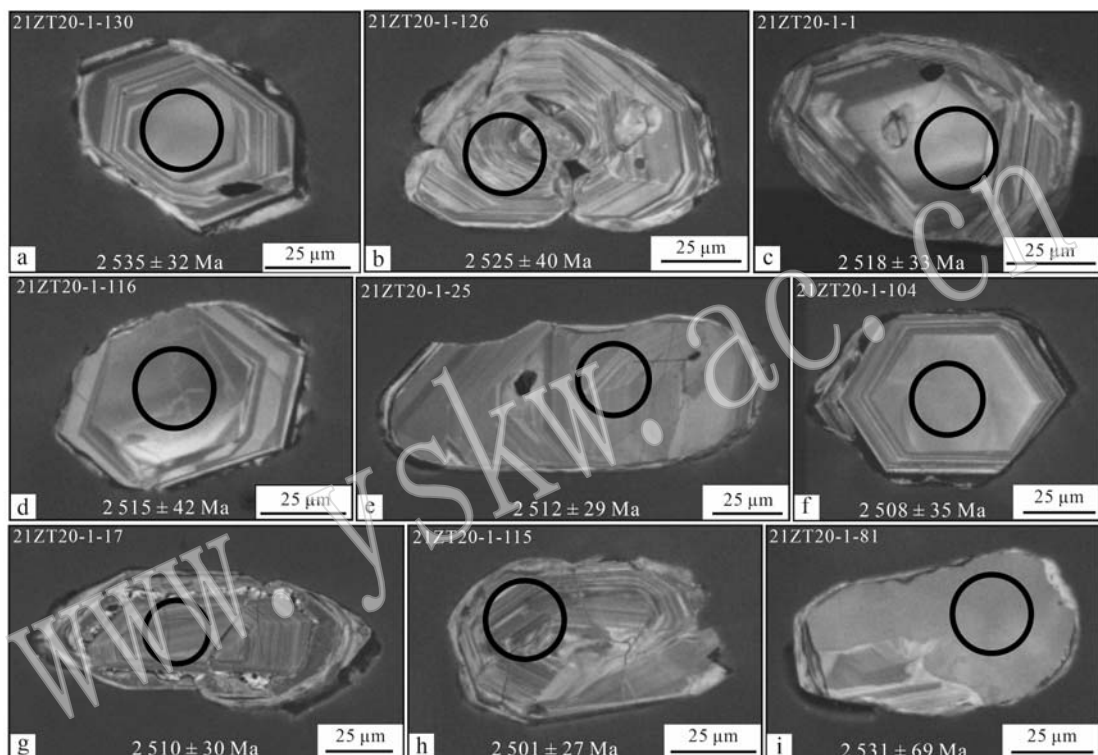


图4 赞皇杂岩官都岩群黑云变粒岩中锆石阴极发光图像与 $^{207}\text{Pb}/^{206}\text{Pb}$ 年龄

Fig. 4 Cathodoluminescence images and $^{207}\text{Pb}/^{206}\text{Pb}$ ages of zircons from the biotite leptynite from the Guandu Group in the Zanhuang Complex

石英岩(21ZT22-1)中的锆石颗粒相对较大, 其粒度为80~280 μm, 呈紫红色, 多数为长柱状晶形, 少数为浑圆状晶形, 长宽比介于1:1~3:1之间。从石英岩锆石的阴极发光图像特征来看(图6), 多数锆石为长柱状晶形, 从核部至边部具有相对中等的发光效应(灰色), 普遍发育典型的岩浆韵律环带结构, 有的岩浆型碎屑锆石核部明显被切割或熔蚀, 显示了变质重结晶锆石的特征(图6i; 吴元保等, 2004)。少数锆石具有相对强的发光效应(灰白色), 并发育十分典型的板状环带结构(图6), 显示了高温岩浆锆石的特征。锆石阴极发光图像、背散射电子图像与TIMA矿物相扫描分析表明(图7),

石英岩中有的锆石含有长英质矿物包体, 主要包括钾长石、石英、斜长石、绿泥石、黑云母、磁铁矿与磷灰石(图7), 与样品21ZT20-1类似, 在样品21ZT22-1中有的锆石中鉴别出钾长石+石英+绿泥石+黑云母+磁铁矿的多相矿物包体, 证明这些锆石是从花岗质岩浆中晶出的。

5 锆石U-Pb年龄

对黑云变粒岩(21ZT20-1)中锆石进行了U-Pb测年, 共分析了130个锆石测点, 获得了125个有效年龄, 其分析结果见表1与图8a。依据分析点的

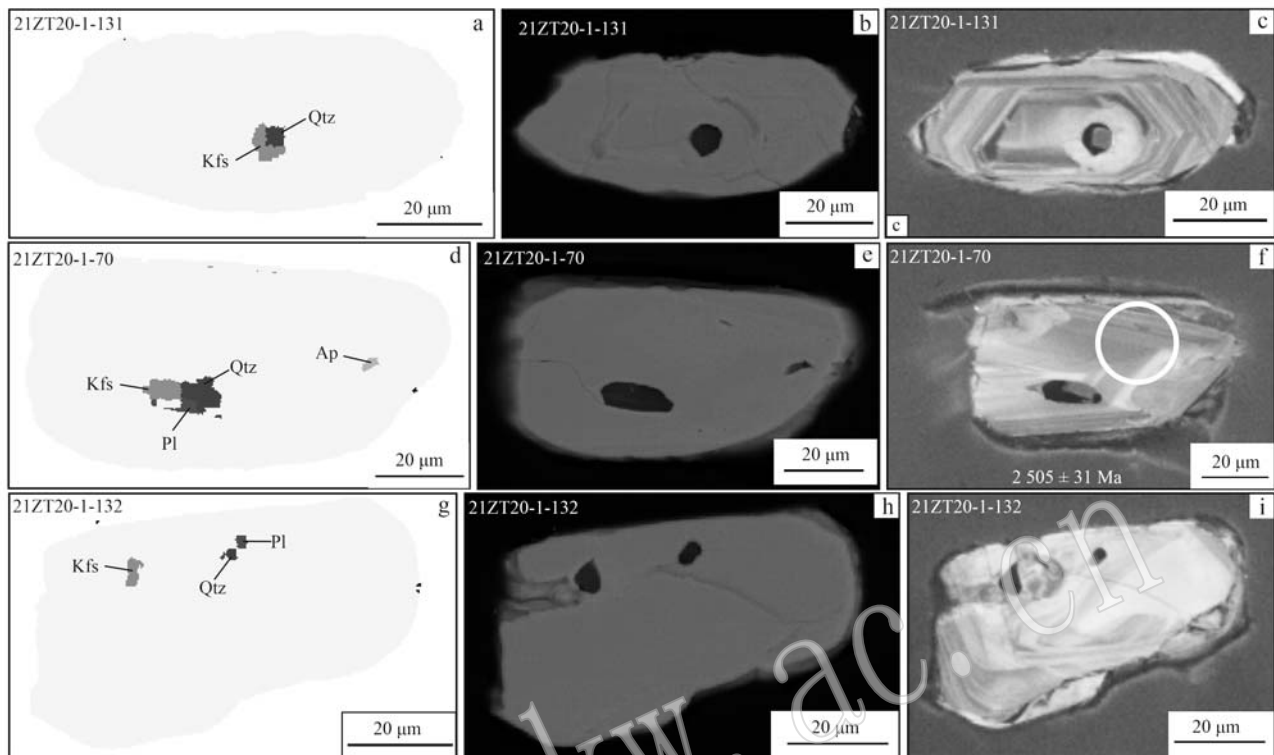


图 5 赞皇杂岩官都岩群黑云变粒岩中锆石代表矿物包体的矿物相图(a、d、g)、背散射电子图像(b、e、h)与阴极发光图像(c、f、i)

Fig. 5 Representative mineral phase (a, d, g), backscatter electron (b, e, h), and cathodoluminescence images (c, f, i) showing mineral inclusions of zircons from the biotite leptynite in the Guandu Group of the Zanhuan Complex

a, b, c—第 131 粒岩浆型碎屑锆石, 继承性岩浆型碎屑锆石核部含有钾长石(Kfs)+石英(Qtz)的多相矿物包体; d, e, f—第 70 粒岩浆型碎屑锆石, 岩浆型碎屑锆石核部含有钾长石(Kfs)+石英(Qtz)+斜长石(Pl)+磷灰石(Ap)的多相矿物包体; g, h, i—第 132 粒碎屑锆石, 岩浆型碎屑锆石内部含有钾长石(Kfs)+石英(Qtz)+斜长石(Pl)的多相矿物包体

a, b, c—zircon grain 21ZT20-1-131 showing multiphase mineral inclusions of K-feldspar + quartz were identified in the magmatic-type detrital zircon domain; d, e, f—zircon grain 21ZT20-1-70 showing multiphase mineral inclusions of K-feldspar + quartz + plagioclase were identified in the magmatic-type detrital zircon domain; g, h, i—zircon grain 21ZT20-1-132 showing multiphase mineral inclusions of K-feldspar + quartz + plagioclase were identified in the magmatic-type detrital zircon domain

锆石阴极发光图像与 U-Pb 年龄结果, 125 个锆石微区的 $^{207}\text{Pb}/^{206}\text{Pb}$ 年龄可进一步划分 2 组。其中, 第 1 组 123 个碎屑锆石的 Th 与 U 含量变化较大, 分别为 $18.20 \times 10^{-6} \sim 981.00 \times 10^{-6}$ 与 $38.80 \times 10^{-6} \sim 563.00 \times 10^{-6}$, 相应的 Th/U 为 0.24 ~ 2.44。如图 8a 所示, 大部分该组锆石获得的 $^{207}\text{Pb}/^{206}\text{Pb}$ 年龄比较分散, 介于 2574 ± 27 Ma ~ 2434 ± 97 Ma 之间, 构成的不一致上交点年龄为 2521 ± 5 Ma, 略小于位于谐和线附近的 15 个最大的 $^{207}\text{Pb}/^{206}\text{Pb}$ 加权平均年龄 (2544 ± 9 Ma), 大致代表该组锆石的形成时代下限。此外, 2 个变质重结晶锆石的 Th、U 含量分别为 $28.70 \times 10^{-6} \sim 82.50 \times 10^{-6}$ 与 $59.60 \times 10^{-6} \sim 141.40 \times 10^{-6}$, 相应的 Th/U 值为 0.48 ~ 0.58(表 1)。2 个测

点获得的 $^{207}\text{Pb}/^{206}\text{Pb}$ 年龄相对集中(图 8), 分别为 2519 ± 40 Ma 与 2531 ± 69 Ma(表 1)。

选择了石英岩(21ZT22-1)中 156 粒锆石进行 U-Pb 测年, 共分析了 160 个测点的 U-Pb 同位素测试, 获得了 160 个有效年龄, 其分析结果见表 2 与图 8b。依据分析点的锆石阴极发光图像与 U-Pb 年龄结果, 160 个锆石微区的 $^{207}\text{Pb}/^{206}\text{Pb}$ 年龄可进一步划分 3 组。其中, 第 1 组 2 个新太古代早期碎屑锆石的 Th、U 含量分别为 48.20×10^{-6} 、 79.20×10^{-6} 与 46.10×10^{-6} 、 150.00×10^{-6} , 相应的 Th/U 值分别为 0.53 与 1.05, 2 个测点的 $^{207}\text{Pb}/^{206}\text{Pb}$ 年龄分别为 2677 ± 20 Ma 与 2671 ± 32 Ma; 第 2 组 146 个新太古代晚期碎屑锆石的 Th 与 U 含量变化较大, Th、U 含量

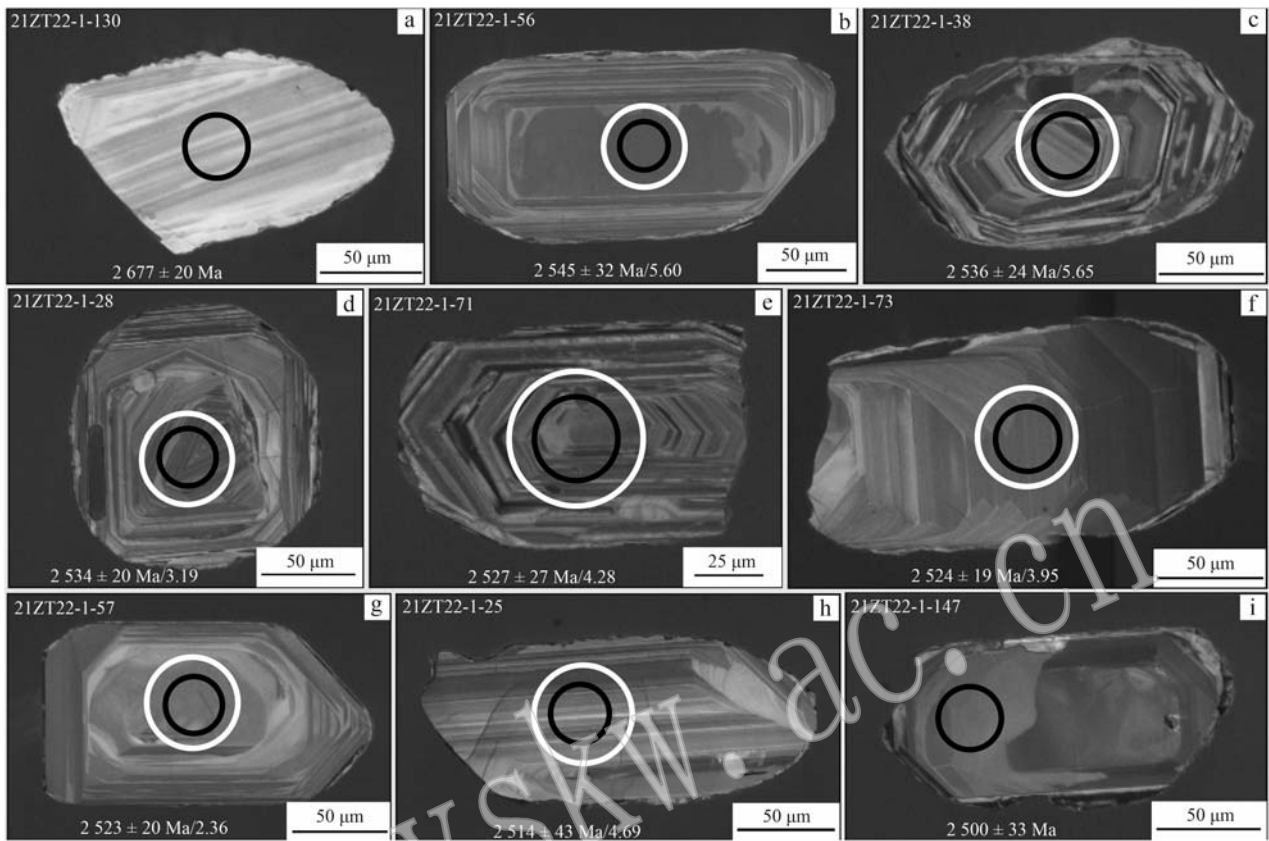


图 6 赞皇杂岩官都岩群石英岩中锆石阴极发光图像、 $^{207}\text{Pb}/^{206}\text{Pb}$ 年龄与 $\varepsilon\text{Hf}(t)$ 值(黑色与白色圆圈分别为 U-Pb 和 Lu-Hf 同位素分析点位置)

Fig. 6 Cathodoluminescence images, $^{207}\text{Pb}/^{206}\text{Pb}$ ages and $\varepsilon\text{Hf}(t)$ values of zircons from the quartzite in the Guandu Group of the Zanhuan Complex (the black and white circles are U-Pb and Lu-Hf isotope analysis points, respectively)

分别为 $10.30 \times 10^{-6} \sim 1433.00 \times 10^{-6}$ 与 $17.50 \times 10^{-6} \sim 690.00 \times 10^{-6}$, 相应的 Th/U 值为 0.07 ~ 3.11。如图 8b 所示, 该组锆石获得的 $^{207}\text{Pb}/^{206}\text{Pb}$ 年龄相对分散, 介于 2552 ± 29 Ma ~ 2467 ± 51 Ma 之间, 构成的不一致上交点年龄为 2512 ± 3 Ma, 略小于位于谐和线附近 15 个最大的 $^{207}\text{Pb}/^{206}\text{Pb}$ 加权平均年龄 (2536 ± 6 Ma), 大致代表该组锆石的形成时代下限; 第 3 组 12 个变质重结晶锆石 Th 与 U 含量分别为 $22.50 \times 10^{-6} \sim 674.20 \times 10^{-6}$ 与 $57.70 \times 10^{-6} \sim 319.60 \times 10^{-6}$, 相应的 Th/U 值为 0.32 ~ 2.11 (表 2), 12 个测点获得的 $^{207}\text{Pb}/^{206}\text{Pb}$ 年龄为 2527 ± 25 Ma 至 2464 ± 41 Ma, 对应的加权平均年龄为 2501 ± 10 Ma (图 8c)。

6 锆石稀土元素组成与特征

对黑云变粒岩 (21ZT20-1) 与石英岩 (21ZT22-1) 中锆石分别进行了 125 个与 160 个测点的稀土元素

化学成分分析, 其分析结果见表 3、表 4, 稀土元素配分曲线如图 8 所示。

如图 8 与表 3 所示, 黑云变粒岩中 123 个碎屑锆石的稀土元素总含量变化范围较大, 介于 $209.47 \times 10^{-6} \sim 2398.52 \times 10^{-6}$ 之间 (图 8b, 表 3), 从球粒陨石标准化稀土元素配分曲线特征可以明显看出, 123 个碎屑锆石测点具有轻稀土元素相对亏损, 而重稀土元素相对富集的特征, 但不同测点轻稀土元素亏损与重稀土元素富集程度存在一些差异, 其 $\text{Lu}_{\text{N}}/\text{Sm}_{\text{N}}$ 值变化较大, 为 $8.62 \sim 299.91$; 123 个碎屑锆石具有正 Ce 异常与负 Eu 异常, 但不同测点存在明显差异, Ce/Ce^* 值为 $1.54 \sim 212.02$, Eu/Eu^* 值为 $0.08 \sim 2.30$ 。2 个变质锆石测点稀土元素总含量变化较小, 分别为 512.55×10^{-6} 与 987.45×10^{-6} ; 从球粒陨石标准化稀土元素配分曲线特征可以明显看出, 2 个变质成因的锆石轻稀土元素明显亏损, 而重稀土元素明显富集, 相应的稀土元素配分模式

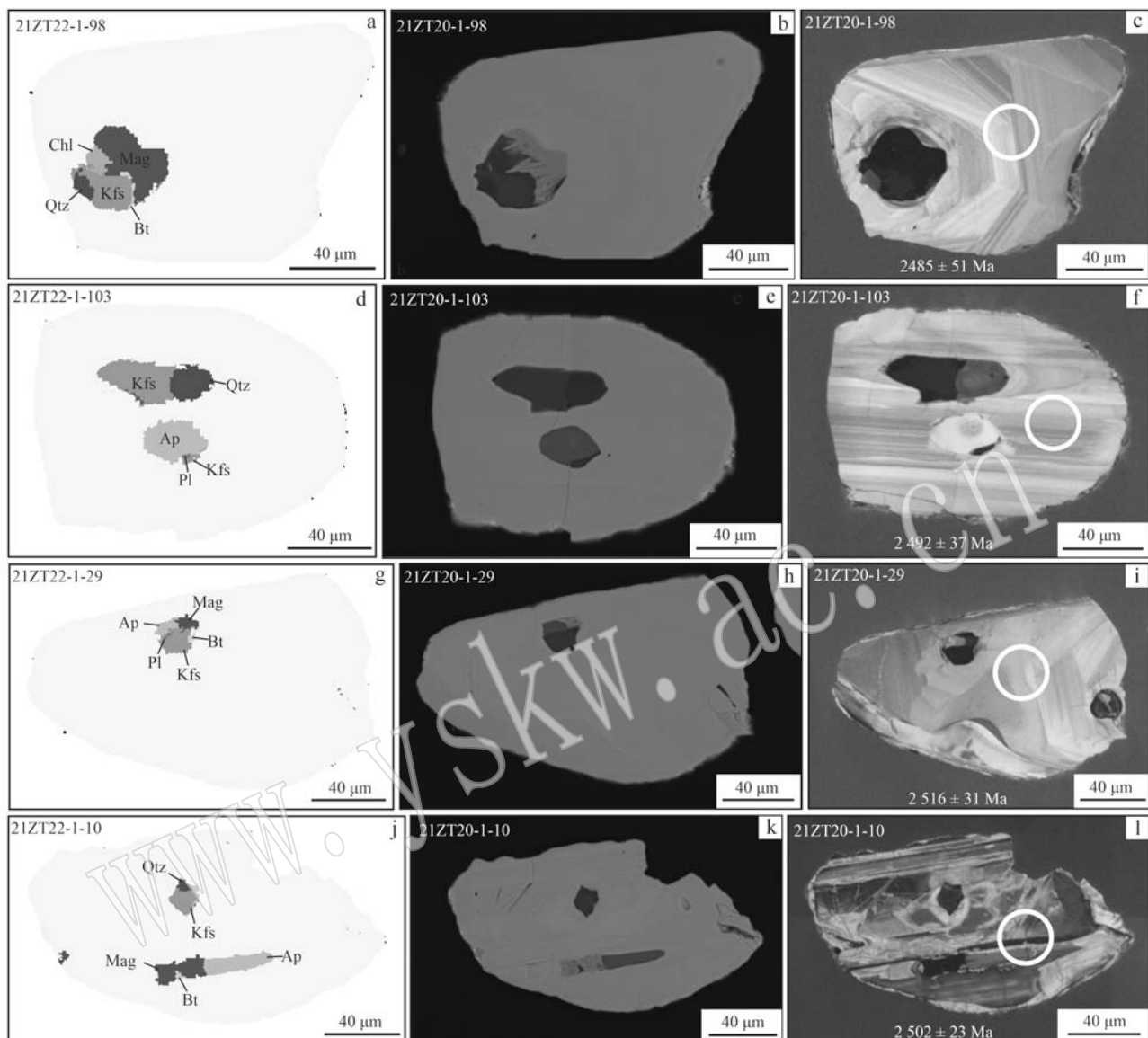


图 7 赞皇杂岩官都岩群石英岩中锆石代表性矿物包体的矿物相图(a, d, g, j)、背散射电子图像(b, e, h, k)与阴极发光图像(c, f, i, l)

Fig. 7 Representative mineral phase (a, d, g, j), backscatter electron (b, e, h, k), and cathodoluminescence images (c, f, i, l) showing mineral inclusions of zircons from the quartzite from the Guandu Group in the Zanhuang Complex
a, b, c—第 98 粒岩浆型碎屑锆石, 继承性岩浆型碎屑锆石含有钾长石(Kfs)+石英(Qtz)+黑云母(Bt)+绿泥石(Chl)+磁铁矿(Mag)的多相矿物包体; d, e, f—第 103 粒岩浆型碎屑锆石, 岩浆型碎屑锆石含有钾长石(Kfs)+石英(Qtz)+斜长石(Pl)+磷灰石(Ap)的多相矿物包体; g, h, i—第 29 粒岩浆型碎屑锆石, 岩浆型碎屑锆石含有钾长石(Kfs)+黑云母(Bt)+斜长石(Pl)+磷灰石(Ap)+磁铁矿(Mag)的多相矿物包体; j, k, l—第 10 粒岩浆型碎屑锆石, 岩浆型碎屑锆石含有钾长石(Kfs)+黑云母(Bt)+石英(Qtz)+磷灰石(Ap)+磁铁矿(Mag)的多相矿物包体

a, b, c—zircon grain 21ZT22-1-98 showing multiphase mineral inclusions of K-feldspar + quartz + biotite + chlorite + magnetite were identified in the magmatic-type detrital zircon domain; d, e, f—zircon grain 21ZT22-1-103 showing multiphase mineral inclusions of K-feldspar + quartz + plagioclase + apatite were identified in the magmatic-type detrital zircon domain; g, h, i—zircon grain 21ZT22-1-29 showing multiphase mineral inclusions of K-feldspar + biotite + plagioclase + apatite + magnetite were identified in the magmatic-type detrital zircon domain; j, k, l—zircon grain 21ZT22-1-10 showing multiphase mineral inclusions of K-feldspar + biotite + quartz + apatite + magnetite were identified in the magmatic-type detrital zircon domain

表 1 赞皇杂岩官都岩群黑云变粒岩锆石 LA-ICP-MS U-Pb 测试结果
Table 1 LA-ICP-MS zircon U-Pb dating results of the biotite leptynites of the Guandu Group in the Zanhuang Complex

样品号	$w_{\text{B}}/10^{-6}$	同位素比值						年龄/Ma	$^{207}\text{Pb}/^{206}\text{Pb}$	2σ	2σ
		Total Pb	^{232}Th	^{238}U	Th/U	$^{207}\text{Pb}/^{235}\text{U}$	2σ	$^{206}\text{Pb}/^{238}\text{U}$	2σ	$^{207}\text{Pb}/^{206}\text{Pb}$	2σ
岩浆型碎屑锆石											
21ZT20-1-5	138.70	146.00	213.90	0.68	11.300 0	0.380 0	0.487 3	0.009 2	0.172 1	0.006 5	2.546
21ZT20-1-2	55.80	51.50	85.30	0.60	10.940 0	0.370 0	0.474 3	0.007 8	0.170 6	0.006 5	2.514
21ZT20-1-9	113.30	90.00	170.20	0.53	11.290 0	0.380 0	0.491 9	0.007 9	0.169 8	0.006 5	2.544
21ZT20-1-90	132.50	139.30	200.60	0.69	10.990 0	0.350 0	0.472 9	0.007 8	0.169 8	0.006 3	2.520
21ZT20-1-83	157.20	149.60	228.40	0.65	10.900 0	0.420 0	0.470 9	0.009 8	0.169 5	0.007 0	2.512
21ZT20-1-38	57.70	59.40	83.40	0.71	11.250 0	0.480 0	0.468 0	0.009 8	0.170 8	0.008 6	2.537
21ZT20-1-12	56.00	58.60	82.40	0.71	11.080 0	0.380 0	0.486 4	0.009 0	0.168 8	0.006 5	2.527
21ZT20-1-77	212.10	356.00	295.30	1.21	11.050 0	0.360 0	0.482 7	0.008 9	0.168 4	0.006 4	2.526
21ZT20-1-129	105.20	107.60	173.00	0.62	9.190 0	0.590 0	0.393 0	0.021 0	0.168 5	0.007 1	2.345
21ZT20-1-110	95.80	156.40	126.90	1.23	10.960 0	0.440 0	0.478 0	0.011 0	0.168 2	0.007 0	2.517
21ZT20-1-130	59.30	39.60	89.00	0.44	11.320 0	0.390 0	0.494 1	0.008 4	0.168 5	0.006 6	2.546
21ZT20-1-58	73.50	79.70	104.50	0.76	11.540 0	0.490 0	0.486 1	0.010 0	0.168 1	0.007 5	2.565
21ZT20-1-19	91.50	114.40	160.20	0.71	9.730 0	0.360 0	0.429 1	0.008 8	0.167 8	0.006 5	2.407
21ZT20-1-36	77.50	70.80	117.40	0.60	11.120 0	0.410 0	0.480 7	0.010 0	0.167 8	0.006 6	2.530
21ZT20-1-59	65.60	34.50	98.00	0.35	11.220 0	0.490 0	0.484 0	0.011 0	0.167 8	0.007 2	2.538
21ZT20-1-123	125.10	160.60	186.10	0.86	9.910 0	0.430 0	0.420 0	0.013 0	0.167 8	0.007 0	2.420
21ZT20-1-3	154.10	130.70	234.20	0.56	11.190 0	0.400 0	0.481 6	0.010 0	0.167 8	0.006 5	2.407
21ZT20-1-82	139.70	163.90	199.60	0.82	11.070 0	0.360 0	0.482 2	0.007 9	0.167 6	0.006 5	2.527
21ZT20-1-124	60.90	40.60	94.00	0.43	11.150 0	0.420 0	0.483 7	0.008 4	0.167 8	0.007 0	2.420
21ZT20-1-88	128.50	159.60	191.10	0.84	10.550 0	0.370 0	0.456 6	0.010 0	0.166 6	0.006 4	2.482
21ZT20-1-89	131.70	119.30	198.20	0.60	10.740 0	0.420 0	0.467 0	0.011 0	0.167 5	0.007 2	2.498
21ZT20-1-102	111.20	126.30	159.00	0.79	11.080 0	0.370 0	0.480 6	0.007 9	0.167 6	0.006 3	2.526
21ZT20-1-117	71.90	88.40	103.40	0.85	11.020 0	0.380 0	0.478 2	0.007 9	0.167 7	0.006 6	2.524
21ZT20-1-39	104.20	102.90	151.90	0.68	11.290 0	0.350 0	0.484 8	0.007 0	0.167 5	0.006 1	2.545
21ZT20-1-80	359.70	549.00	526.00	1.04	10.530 0	0.350 0	0.458 3	0.009 4	0.167 2	0.005 9	2.478
21ZT20-1-61	35.10	40.70	49.70	0.82	11.310 0	0.450 0	0.488 3	0.008 7	0.168 0	0.007 2	2.548
21ZT20-1-126	107.50	160.70	157.60	1.02	9.940 0	0.510 0	0.438 0	0.016 0	0.167 2	0.007 0	2.423
21ZT20-1-10	146.90	138.70	212.10	0.65	11.290 0	0.380 0	0.493 5	0.008 9	0.167 0	0.006 3	2.545
21ZT20-1-75	124.60	117.30	181.70	0.65	11.170 0	0.390 0	0.486 2	0.010 0	0.166 7	0.006 3	2.536
21ZT20-1-34	29.60	18.80	43.90	0.43	11.410 0	0.530 0	0.494 3	0.010 0	0.168 6	0.008 2	2.547
21ZT20-1-57	205.40	343.00	266.00	1.29	10.620 0	0.340 0	0.457 2	0.007 0	0.166 4	0.006 2	2.488
21ZT20-1-113	182.40	197.20	285.70	0.69	8.140 0	0.330 0	0.358 0	0.010 0	0.166 7	0.006 8	2.244

谱和
度/%

续表 1-1
Continued Table 1-1

样品号	$u_B/10^{-6}$		同位素比值						年龄/Ma					
	Total Pb	^{232}Th	^{238}U	Th/U	$^{207}\text{Pb}/^{235}\text{U}$	2σ	$^{206}\text{Pb}/^{238}\text{U}$	2σ	$^{207}\text{Pb}/^{206}\text{Pb}$	2σ	$^{206}\text{Pb}/^{238}\text{U}$	2σ	$^{207}\text{Pb}/^{206}\text{Pb}$	2σ
21ZT20-1-11	206.00	363.00	262.80	1.38	10.760 0	0.350 0	0.468 5	0.007 7	0.166 9	0.006 4	2.500	30	2.475	34
21ZT20-1-14	138.90	260.10	215.70	1.21	10.570 0	0.350 0	0.463 2	0.008 1	0.166 5	0.006 2	2.482	31	2.452	36
21ZT20-1-106	132.40	203.00	179.60	1.13	10.930 0	0.380 0	0.479 2	0.007 7	0.166 8	0.006 6	2.515	32	2.523	33
21ZT20-1-31	119.80	117.10	176.10	0.66	10.970 0	0.370 0	0.482 4	0.009 2	0.166 7	0.006 4	2.518	31	2.536	40
21ZT20-1-45	58.20	67.80	80.20	0.85	11.070 0	0.390 0	0.476 9	0.008 7	0.167 1	0.006 8	2.529	35	2.512	38
21ZT20-1-1	103.20	128.40	140.20	0.92	10.870 0	0.390 0	0.474 7	0.009 7	0.166 9	0.006 6	2.507	34	2.502	43
21ZT20-1-84	248.20	981.00	401.50	2.44	8.780 0	0.330 0	0.381 0	0.011 0	0.165 7	0.006 8	2.312	34	2.077	53
21ZT20-1-22	134.80	161.90	229.50	0.71	10.320 0	0.360 0	0.458 7	0.006 7	0.166 4	0.006 5	2.462	32	2.433	30
21ZT20-1-63	80.10	105.50	122.00	0.86	10.880 0	0.390 0	0.475 2	0.007 1	0.166 7	0.006 8	2.509	34	2.505	31
21ZT20-1-99	101.70	102.00	161.50	0.63	10.180 0	0.340 0	0.434 5	0.008 0	0.166 6	0.006 4	2.449	31	2.324	36
21ZT20-1-47	161.30	166.00	244.70	0.68	9.540 0	0.530 0	0.410 0	0.018 0	0.166 2	0.006 2	2.377	53	2.210	82
21ZT20-1-13	50.20	39.20	79.20	0.49	10.800 0	0.370 0	0.474 0	0.007 1	0.166 8	0.006 5	2.501	32	2.500	31
21ZT20-1-29	135.50	142.70	196.20	0.73	10.880 0	0.370 0	0.478 4	0.008 9	0.166 3	0.006 2	2.509	32	2.518	39
21ZT20-1-46	140.90	229.00	285.00	0.80	9.020 0	0.400 0	0.386 0	0.013 0	0.166 3	0.006 2	2.328	42	2.100	61
21ZT20-1-98	194.50	173.80	276.40	0.63	11.080 0	0.350 0	0.479 6	0.007 4	0.166 2	0.006 2	2.377	53	2.210	82
21ZT20-1-108	95.70	137.80	158.00	0.87	8.440 0	0.320 0	0.368 2	0.008 1	0.166 5	0.007 0	2.276	35	2.020	38
21ZT20-1-111	89.20	109.30	125.50	0.87	11.040 0	0.410 0	0.487 1	0.010 0	0.166 3	0.007 1	2.524	35	2.557	44
21ZT20-1-116	101.70	103.10	148.80	0.69	10.440 0	0.440 0	0.462 0	0.012 0	0.166 1	0.007 0	2.472	39	2.446	52
21ZT20-1-8	84.20	88.00	136.20	0.65	10.780 0	0.420 0	0.481 0	0.012 0	0.166 4	0.007 1	2.501	37	2.530	51
21ZT20-1-26	53.20	46.80	80.90	0.58	10.930 0	0.440 0	0.473 1	0.010 0	0.167 1	0.007 4	2.510	38	2.495	45
21ZT20-1-27	139.30	186.00	201.40	0.92	10.900 0	0.340 0	0.473 7	0.006 6	0.166 3	0.006 1	2.512	29	2.498	29
21ZT20-1-49	98.10	214.00	153.00	1.40	9.850 0	0.400 0	0.419 0	0.011 0	0.166 5	0.006 3	2.110	38	2.250	51
21ZT20-1-96	276.80	524.00	410.50	1.28	9.580 0	0.330 0	0.415 2	0.008 4	0.165 8	0.006 1	2.390	33	2.236	39
21ZT20-1-6	29.80	30.20	44.80	0.67	11.380 0	0.430 0	0.503 8	0.008 2	0.165 7	0.006 9	2.555	33	2.633	36
21ZT20-1-25	66.80	51.30	103.50	0.50	11.010 0	0.360 0	0.482 5	0.006 6	0.166 4	0.006 4	2.520	31	2.537	29
21ZT20-1-41	75.10	69.60	110.30	0.63	10.980 0	0.430 0	0.477 0	0.011 0	0.166 1	0.006 8	2.518	37	2.512	48
21ZT20-1-105	139.60	188.00	219.80	0.86	9.290 0	0.300 0	0.398 9	0.007 9	0.166 0	0.006 3	2.365	30	2.163	36
21ZT20-1-35	94.80	107.50	135.80	0.79	11.150 0	0.380 0	0.488 4	0.007 5	0.166 0	0.006 4	2.532	31	2.563	32
21ZT20-1-94	61.60	71.40	86.40	0.83	10.020 0	0.410 0	0.434 0	0.011 0	0.166 4	0.006 4	2.425	39	2.320	52
21ZT20-1-121	25.40	18.20	38.80	0.47	11.470 0	0.510 0	0.496 6	0.011 0	0.167 3	0.008 1	2.554	41	2.597	46
21ZT20-1-17	193.90	189.20	339.40	0.56	10.090 0	0.440 0	0.439 0	0.013 0	0.165 9	0.006 4	2.433	41	2.340	60
21ZT20-1-28	100.50	135.50	143.90	0.94	10.920 0	0.350 0	0.477 4	0.007 2	0.166 0	0.006 2	2.512	30	2.514	32
21ZT20-1-56	117.50	141.80	176.20	0.80	10.700 0	0.420 0	0.451 9	0.009 7	0.165 8	0.006 9	2.495	36	2.403	43

续表 1-3
Continued Table 1-3

样品号	$w_{\text{B}}/10^{-6}$	同位素比值										年齡/Ma	2σ	谱和 度/%			
		Th/U		$^{207}\text{Pb}/^{235}\text{U}$		$^{206}\text{Pb}/^{238}\text{U}$		$^{207}\text{Pb}/^{206}\text{Pb}$		$^{207}\text{Pb}/^{235}\text{U}$							
		Total Pb	^{232}Th	^{238}U	$^{207}\text{Pb}/^{235}\text{U}$	2σ	$^{206}\text{Pb}/^{238}\text{U}$	2σ	$^{207}\text{Pb}/^{206}\text{Pb}$	2σ	$^{207}\text{Pb}/^{235}\text{U}$						
21ZT20-1-16	173.90	169.50	340.00	0.50	9.280 0	0.310 0	0.414 0	0.009 5	0.164 7	0.006 1	2.364	32	2.231	43	2.500	25	94
21ZT20-1-44	111.90	190.20	151.20	1.26	10.770 0	0.380 0	0.468 3	0.007 1	0.164 9	0.006 4	2.500	33	2.475	31	2.500	32	99
21ZT20-1-120	65.90	60.50	116.20	0.52	10.760 0	0.370 0	0.473 5	0.009 0	0.164 7	0.006 2	2.500	34	2.496	40	2.500	28	100
21ZT20-1-53	75.40	113.20	95.60	1.18	11.130 0	0.390 0	0.477 7	0.007 6	0.164 7	0.006 2	2.528	32	2.515	33	2.499	28	99
21ZT20-1-37	163.90	312.00	265.00	1.18	8.150 0	0.420 0	0.351 0	0.014 0	0.164 9	0.006 6	2.233	47	1.935	68	2.498	35	86
21ZT20-1-114	138.20	145.70	202.30	0.72	10.930 0	0.340 0	0.485 2	0.007 4	0.163 8	0.006 0	2.515	29	2.549	32	2.498	25	99
21ZT20-1-127	147.30	255.00	232.00	1.10	9.830 0	0.340 0	0.430 0	0.008 1	0.164 5	0.006 3	2.416	32	2.305	37	2.498	29	95
21ZT20-1-20	109.20	114.50	149.50	0.77	10.810 0	0.420 0	0.480 0	0.015 0	0.164 6	0.006 5	2.506	38	2.524	64	2.496	35	99
21ZT20-1-86	266.00	618.00	406.50	1.52	9.170 0	0.290 0	0.403 5	0.006 1	0.164 4	0.005 9	2.351	29	2.184	28	2.496	20	93
21ZT20-1-15	172.50	213.70	319.70	0.67	9.690 0	0.330 0	0.431 6	0.008 5	0.164 2	0.006 3	2.404	31	2.312	38	2.495	30	96
21ZT20-1-79	68.90	114.60	89.80	1.28	11.190 0	0.370 0	0.494 0	0.006 7	0.164 8	0.006 3	2.535	31	2.587	29	2.495	31	98
21ZT20-1-69	194.60	488.00	369.70	1.32	8.090 0	0.280 0	0.355 8	0.007 4	0.163 6	0.006 3	2.240	30	1.961	35	2.492	32	87
21ZT20-1-62	96.20	222.00	113.10	1.96	10.830 0	0.390 0	0.472 9	0.009 2	0.163 8	0.006 6	2.506	34	2.495	40	2.489	36	100
21ZT20-1-4	133.60	226.00	199.00	1.14	10.970 0	0.420 0	0.481 5	0.009 7	0.163 7	0.006 7	2.517	36	2.533	42	2.488	38	99
21ZT20-1-67	193.70	326.00	341.30	0.96	9.530 0	0.330 0	0.419 5	0.008 1	0.163 5	0.006 3	2.388	33	2.257	37	2.487	31	94
21ZT20-1-122	35.00	26.10	55.20	0.47	10.800 0	0.410 0	0.481 1	0.008 5	0.164 4	0.007 0	2.499	36	2.530	37	2.486	42	99
21ZT20-1-60	276.60	372.60	516.20	0.72	9.060 0	0.330 0	0.398 3	0.009 5	0.163 1	0.007 0	2.342	34	2.160	44	2.484	44	92
21ZT20-1-100	151.50	186.10	262.10	0.71	8.860 0	0.330 0	0.386 7	0.008 8	0.162 8	0.006 4	2.319	34	2.106	41	2.484	36	90
21ZT20-1-18	137.10	121.30	258.20	0.47	9.620 0	0.350 0	0.437 4	0.010 0	0.163 1	0.006 4	2.402	30	2.337	45	2.483	33	97
21ZT20-1-24	188.20	293.60	310.40	0.95	10.410 0	0.430 0	0.460 0	0.013 0	0.163 0	0.006 4	2.468	39	2.437	58	2.483	32	99
21ZT20-1-43	174.00	305.50	321.10	0.95	8.200 0	0.300 0	0.352 9	0.008 6	0.163 0	0.006 1	2.249	33	1.946	41	2.481	27	86
21ZT20-1-65	181.10	326.00	361.00	0.90	8.220 0	0.390 0	0.367 3	0.010 0	0.161 9	0.007 4	2.265	35	2.016	48	2.470	53	88
21ZT20-1-72	207.40	299.20	563.00	0.53	7.680 0	0.320 0	0.336 0	0.010 0	0.162 1	0.007 6	2.191	38	1.865	50	2.469	54	84
21ZT20-1-101	245.50	538.00	526.00	1.02	6.550 0	0.300 0	0.285 4	0.007 9	0.160 2	0.007 1	2.049	40	1.618	40	2.452	48	76
变质型碎屑岩	198.10	286.00	474.00	0.60	6.760 0	0.490 0	0.314 0	0.018 0	0.159 0	0.010 0	2.075	65	1.756	86	2.434	97	83
21ZT20-1-23	90.30	82.50	141.40	0.58	10.840 0	0.370 0	0.469 4	0.007 5	0.167 2	0.007 0	2.506	31	2.480	33	2.519	40	99
21ZT20-1-81	38.30	28.70	59.60	0.48	10.490 0	0.490 0	0.460 3	0.008 4	0.168 2	0.009 1	2.476	43	2.440	37	2.531	69	99

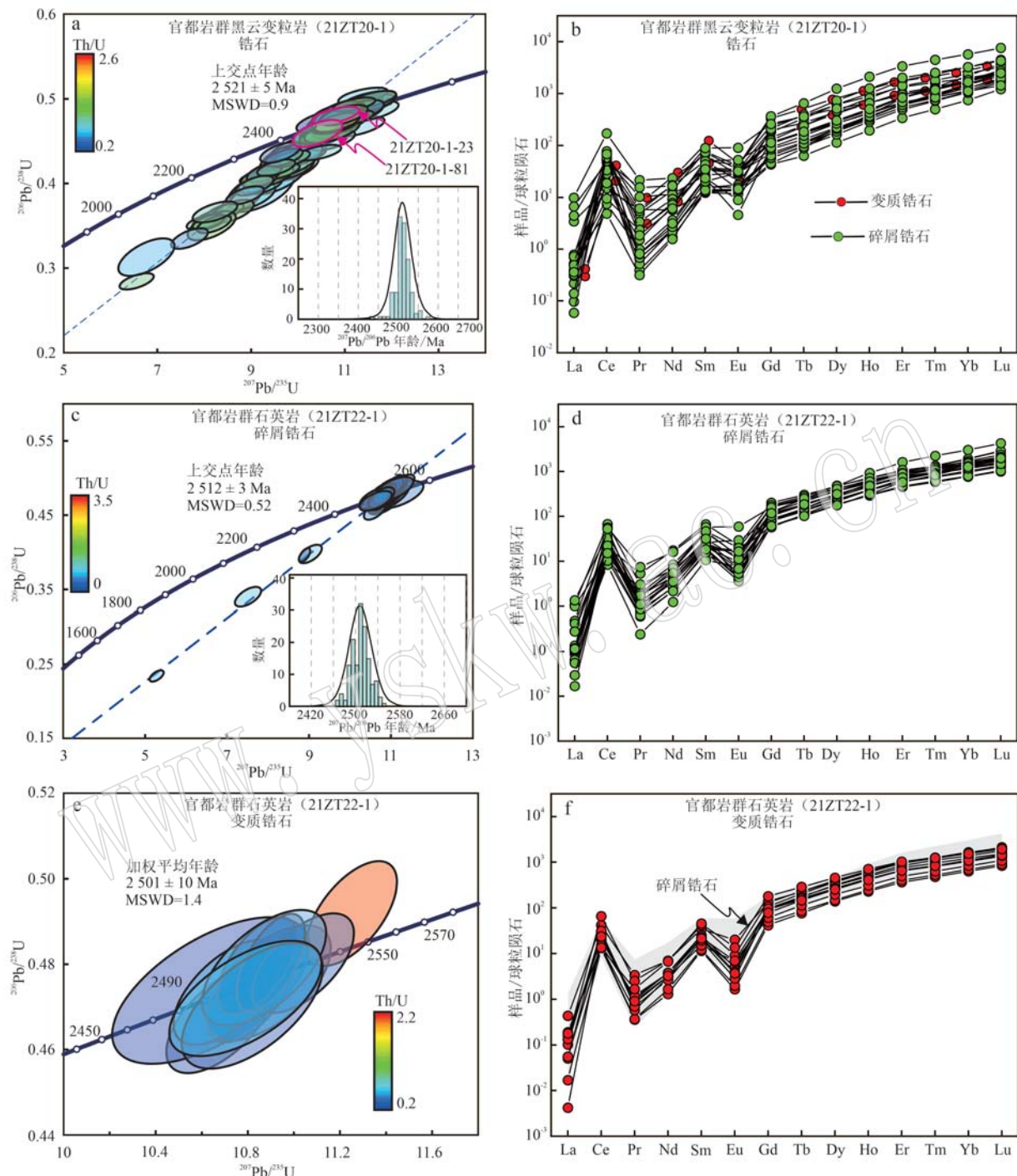


图 8 赞皇杂岩官都岩群黑云变粒岩与石英岩中锆石 U-Pb 谱和图(a, c, e)与稀土元素配分模式图(b, d, f; 标准化数据据 McDonough and Sun, 1995)

Fig. 8 Concordia diagrams (a, c, e) and CI-normalized rare earth element patterns (b, d, f; chondrite data after McDonough and Sun, 1995) of zircons from the biotite leptynite and quartzite in Guandu Group of the Zanhuang Complex

显示重稀土元素明显上翘, 相应的 $\text{Lu}_{\text{N}}/\text{Sm}_{\text{N}}$ 值为 33.47~52.55; 2 个变质锆石具有正 Ce 异常与负 Eu 异常的特征, Ce/Ce^* 值为 8.98~13.21; Eu/Eu^* 值为 0.17~0.19(表 3)。

石英岩中 148 个碎屑锆石具有变化相对较大的稀土元素总量, 介于 99.3×10^{-6} ~ $2 137.59 \times 10^{-6}$ 之间(图 8d, 表 4)。从球粒陨石标准化稀土元素配分曲线特征可以明显看出, 148 个碎屑锆石具有轻

续表 2-1
Continued Table 2-1

样品号	$w_{\text{B}}/10^{-6}$	同位素比值								年龄/Ma	精度/%
		Total Pb	^{232}Th	^{238}U	Th/U	$^{207}\text{Pb}/^{235}\text{U}$	2σ	$^{206}\text{Pb}/^{238}\text{U}$	2σ		
		$^{207}\text{Pb}/^{206}\text{Pb}$	2σ	$^{207}\text{Pb}/^{206}\text{Pb}$	2σ	$^{207}\text{Pb}/^{235}\text{U}$	2σ	$^{206}\text{Pb}/^{238}\text{U}$	2σ		
21ZT22-1-82	264.90	319.20	400.10	0.80	10.950 0	0.180 0	0.479 9	0.010 0	0.166 7	0.002 1	2.517
21ZT22-1-54	51.60	46.60	81.90	0.57	10.880 0	0.150 0	0.478 1	0.009 3	0.166 6	0.002 1	2.511
21ZT22-1-123	122.10	113.00	192.30	0.59	10.990 0	0.150 0	0.478 9	0.009 9	0.166 7	0.002 3	2.521
21ZT22-1-39	40.90	30.50	69.00	0.44	10.730 0	0.200 0	0.472 8	0.010 0	0.167 0	0.003 2	2.496
156.10	149.60	240.40	0.62	11.000 0	0.180 0	0.481 0	0.010 0	0.166 5	0.002 1	2.521	
21ZT22-1-93	23.40	14.80	38.60	0.38	10.970 0	0.380 0	0.477 9	0.012 0	0.166 4	0.005 0	2.514
21ZT22-1-65	96.70	99.40	141.80	0.70	10.900 0	0.160 0	0.477 9	0.009 5	0.166 6	0.002 1	2.512
21ZT22-1-34	52.90	46.70	89.50	0.52	10.880 0	0.260 0	0.477 6	0.011 0	0.166 7	0.003 3	2.509
68.10	36.20	115.50	0.31	10.870 0	0.160 0	0.476 4	0.009 2	0.166 6	0.002 4	2.510	
21ZT22-1-114	124.70	137.50	190.10	0.72	10.970 0	0.200 0	0.477 3	0.012 0	0.166 4	0.003 2	2.519
21ZT22-1-95	72.10	47.50	128.60	0.37	10.770 0	0.250 0	0.467 6	0.012 0	0.166 7	0.004 3	2.501
57.70	45.00	95.20	0.47	10.940 0	0.170 0	0.475 9	0.009 2	0.166 5	0.002 3	2.515	
21ZT22-1-86	42.50	27.90	72.10	0.39	10.900 0	0.350 0	0.471 4	0.011 0	0.166 7	0.005 3	2.511
21ZT22-1-74	84.20	97.20	140.90	0.69	10.780 0	0.160 0	0.473 7	0.009 3	0.166 3	0.002 1	2.503
63.80	65.10	102.30	0.64	10.950 0	0.190 0	0.480 9	0.009 6	0.166 4	0.002 3	2.515	
30.60	21.00	50.20	0.42	10.800 0	0.260 0	0.480 2	0.011 0	0.163 7	0.003 9	2.502	
54.80	29.80	92.80	0.32	10.910 0	0.200 0	0.479 2	0.009 6	0.166 1	0.002 9	2.512	
21ZT22-1-5	51.70	64.00	76.50	0.84	10.990 0	0.330 0	0.479 4	0.012 0	0.166 3	0.004 7	2.520
49.60	45.00	76.90	0.59	10.990 0	0.260 0	0.478 3	0.011 0	0.166 2	0.003 2	2.520	
125.80	133.90	200.40	0.67	11.070 0	0.260 0	0.484 6	0.012 0	0.166 0	0.003 2	2.528	
21ZT22-1-49	110.30	83.10	179.30	0.46	10.910 0	0.130 0	0.480 4	0.009 0	0.166 0	0.001 9	2.514
57.70	61.40	87.50	0.70	10.990 0	0.330 0	0.485 0	0.013 0	0.166 2	0.004 2	2.520	
37.70	28.60	63.80	0.45	10.800 0	0.300 0	0.474 0	0.013 0	0.165 2	0.004 3	2.503	
54.10	38.90	90.40	0.43	10.850 0	0.200 0	0.472 7	0.010 0	0.166 2	0.003 0	2.508	
21ZT22-1-8	67.50	66.90	112.60	0.59	10.770 0	0.220 0	0.467 1	0.009 7	0.166 4	0.003 0	2.502
52.40	38.30	85.60	0.45	10.940 0	0.180 0	0.480 3	0.009 7	0.166 3	0.002 5	2.514	
87.10	96.90	143.40	0.68	10.930 0	0.170 0	0.482 3	0.009 4	0.166 0	0.002 3	2.515	
21ZT22-1-160	14.80	15.20	24.20	0.63	10.910 0	0.400 0	0.475 0	0.013 0	0.167 1	0.005 6	2.508
116.80	40.00	41.60	63.30	0.66	11.000 0	0.190 0	0.478 7	0.009 6	0.166 3	0.002 5	2.519
90.80	86.30	144.00	0.60	10.850 0	0.150 0	0.478 2	0.009 5	0.165 9	0.002 3	2.508	
21ZT22-1-24	50.60	41.00	81.80	0.50	10.810 0	0.240 0	0.475 6	0.010 0	0.166 2	0.003 7	2.508
21ZT22-1-159	106.70	122.00	161.40	0.76	10.880 0	0.160 0	0.476 6	0.009 8	0.165 9	0.002 4	2.512

续表 2-3
Continued Table 2-3

样品号	$w_{\text{B}}/10^{-6}$		同位素比值		年龄/Ma		2σ	2σ	2σ	
	Total Pb	^{232}Th	^{238}U	Th/U	$^{207}\text{Pb}/^{235}\text{U}$	2σ	$^{206}\text{Pb}/^{238}\text{U}$	2σ	$^{207}\text{Pb}/^{206}\text{Pb}$	2σ
21ZT22-1-137	52.70	41.70	86.40	0.48	10.910 0	0.170 0	0.476 8	0.009 6	0.165 1	0.002 5
21ZT22-1-110	128.60	84.80	212.40	0.40	10.920 0	0.130 0	0.481 2	0.009 6	0.164 6	0.001 7
21ZT22-1-102	88.00	62.00	145.70	0.43	10.880 0	0.130 0	0.476 9	0.009 1	0.164 8	0.002 0
21ZT22-1-119	38.20	28.80	62.90	0.46	10.860 0	0.180 0	0.477 8	0.009 9	0.165 1	0.002 8
21ZT22-1-18	86.80	93.50	136.00	0.69	10.890 0	0.160 0	0.479 5	0.009 2	0.164 8	0.002 2
21ZT22-1-115	50.00	35.40	81.90	0.43	10.920 0	0.180 0	0.481 8	0.009 9	0.164 5	0.002 5
21ZT22-1-77	40.10	17.60	67.70	0.26	10.880 0	0.230 0	0.483 7	0.011 0	0.165 0	0.003 7
21ZT22-1-14	52.60	31.00	90.50	0.34	10.710 0	0.160 0	0.468 5	0.008 9	0.164 4	0.001 8
21ZT22-1-94	63.00	84.30	93.70	0.90	10.770 0	0.260 0	0.476 8	0.012 0	0.165 1	0.004 7
21ZT22-1-91	33.50	22.40	55.60	0.40	10.910 0	0.210 0	0.480 4	0.009 9	0.164 5	0.002 7
21ZT22-1-157	141.00	156.50	243.70	0.64	10.890 0	0.220 0	0.480 1	0.011 0	0.164 4	0.002 4
21ZT22-1-104	63.90	55.20	101.70	0.54	10.810 0	0.150 0	0.473 6	0.009 3	0.164 7	0.002 3
21ZT22-1-92	100.30	108.60	156.40	0.69	10.870 0	0.140 0	0.479 0	0.009 4	0.164 4	0.002 0
21ZT22-1-148	42.80	38.20	69.40	0.55	10.930 0	0.200 0	0.476 8	0.009 4	0.164 8	0.002 7
21ZT22-1-146	64.50	43.40	106.30	0.41	10.890 0	0.160 0	0.478 8	0.009 8	0.164 4	0.002 2
21ZT22-1-105	49.30	34.30	81.20	0.42	10.950 0	0.170 0	0.481 7	0.009 6	0.164 1	0.002 4
21ZT22-1-136	56.70	42.50	93.10	0.46	10.890 0	0.170 0	0.478 8	0.009 4	0.164 6	0.002 4
21ZT22-1-122	123.50	86.80	205.90	0.42	10.830 0	0.120 0	0.476 0	0.009 0	0.164 0	0.001 6
21ZT22-1-117	48.50	49.90	77.70	0.64	10.800 0	0.170 0	0.473 7	0.009 4	0.164 5	0.002 4
21ZT22-1-113	63.60	67.60	100.60	0.67	10.840 0	0.140 0	0.475 9	0.009 4	0.164 5	0.002 2
21ZT22-1-15	55.60	39.40	92.00	0.43	10.860 0	0.150 0	0.477 9	0.009 3	0.164 3	0.002 1
21ZT22-1-26	35.70	25.10	59.20	0.42	10.880 0	0.290 0	0.478 8	0.011 0	0.164 6	0.004 1
21ZT22-1-151	73.10	77.70	114.90	0.68	10.870 0	0.130 0	0.479 0	0.009 2	0.164 0	0.001 7
21ZT22-1-125	48.20	38.20	79.50	0.48	10.750 0	0.170 0	0.474 2	0.009 6	0.164 2	0.002 6
21ZT22-1-109	36.70	27.80	60.00	0.46	10.800 0	0.260 0	0.477 5	0.011 0	0.164 2	0.003 1
21ZT22-1-12	95.00	32.30	165.50	0.19	10.890 0	0.120 0	0.478 9	0.009 0	0.163 9	0.001 7
21ZT22-1-119	73.90	79.20	122.20	0.65	10.810 0	0.250 0	0.475 5	0.011 0	0.163 7	0.002 5
21ZT22-1-11	35.10	34.10	55.20	0.62	11.140 0	0.210 0	0.489 7	0.011 0	0.163 4	0.003 2
21ZT22-1-109	21.70	27.80	60.00	0.46	10.800 0	0.260 0	0.477 5	0.011 0	0.164 2	0.003 1
21ZT22-1-103	45.10	46.30	70.80	0.65	11.000 0	0.250 0	0.487 5	0.011 0	0.164 1	0.003 6
21ZT22-1-69	139.80	143.60	229.30	0.63	10.780 0	0.190 0	0.475 2	0.010 0	0.163 8	0.002 1
21ZT22-1-135	46.40	35.00	76.30	0.46	10.870 0	0.170 0	0.478 4	0.009 4	0.164 1	0.002 5
21ZT22-1-131	65.10	68.60	103.10	0.67	10.780 0	0.160 0	0.474 9	0.009 4	0.163 9	0.002 1
21ZT22-1-112	49.80	40.90	81.50	0.50	10.790 0	0.150 0	0.475 7	0.009 2	0.164 0	0.002 3

续表 2-4
Continued Table 2-4

样品号	同位素比值						年龄/Ma							
	Total Pb	^{232}Th	^{238}U	Th/U	$^{207}\text{Pb}/^{235}\text{U}$	2σ	$^{206}\text{Pb}/^{238}\text{U}$	2σ	$^{207}\text{Pb}/^{206}\text{Pb}$	2σ	$^{206}\text{Pb}/^{238}\text{U}$	2σ	$^{207}\text{Pb}/^{206}\text{Pb}$	2σ
21ZT22-1-142	71.20	68.80	113.50	0.61	10.860 0	0.150 0	0.478 7	0.009 0	0.163 6	0.002 1	2.509	13	2.523	38
21ZT22-1-132	53.60	30.20	95.60	0.32	10.840 0	0.160 0	0.477 6	0.009 4	0.164 0	0.002 3	2.507	14	2.516	41
21ZT22-1-16	82.70	62.10	135.90	0.46	10.880 0	0.140 0	0.478 9	0.009 4	0.163 3	0.001 9	2.511	12	2.522	41
21ZT22-1-156	83.80	58.10	140.30	0.41	10.770 0	0.210 0	0.475 8	0.011 0	0.163 6	0.002 9	2.501	18	2.508	49
21ZT22-1-149	65.20	61.40	103.50	0.59	10.820 0	0.180 0	0.478 7	0.009 1	0.163 6	0.002 6	2.506	16	2.521	40
21ZT22-1-118	22.60	19.00	36.50	0.52	10.870 0	0.210 0	0.480 8	0.010 0	0.164 4	0.003 4	2.512	19	2.529	45
21ZT22-1-45	10.80	11.50	17.50	0.66	10.680 0	0.350 0	0.474 0	0.012 0	0.164 1	0.005 5	2.494	30	2.498	54
21ZT22-1-140	35.40	30.10	57.20	0.53	10.830 0	0.180 0	0.479 0	0.009 7	0.163 0	0.002 6	2.508	15	2.522	42
21ZT22-1-98	27.80	23.20	44.60	0.52	11.080 0	0.380 0	0.486 0	0.013 0	0.164 2	0.005 2	2.528	34	2.553	57
21ZT22-1-7	45.30	45.60	73.60	0.62	10.720 0	0.190 0	0.471 5	0.009 9	0.163 5	0.002 9	2.496	16	2.489	43
21ZT22-1-2	364.10	1433.00	462.70	3.10	9.040 0	0.230 0	0.398 4	0.010 0	0.162 8	0.002 7	2.340	23	2.161	47
21ZT22-1-101	89.40	148.40	289.20	0.51	5.290 0	0.140 0	0.235 4	0.006 3	0.162 1	0.002 8	1.863	22	1.362	33
21ZT22-1-1	86.80	92.40	147.90	0.62	10.790 0	0.180 0	0.476 0	0.009 5	0.162 5	0.002 2	2.503	15	2.509	41
21ZT22-1-62	288.80	286.40	690.00	0.42	7.520 0	0.260 0	0.341 0	0.011 0	0.162 1	0.003 9	2.173	32	1.890	53
21ZT22-1-143	166.90	162.70	320.80	0.51	8.900 0	0.110 0	0.396 8	0.007 6	0.161 9	0.001 6	2.326	12	2.154	35
21ZT22-1-120	54.50	42.00	90.70	0.46	10.770 0	0.260 0	0.474 3	0.011 0	0.161 8	0.003 4	2.501	22	2.501	47
21ZT22-1-116	39.70	27.10	67.40	0.40	10.630 0	0.320 0	0.469 9	0.011 0	0.162 3	0.005 0	2.486	27	2.482	49
变质锆石														
21ZT22-1-152	158.80	105.80	281.00	0.38	10.680 0	0.190 0	0.467 0	0.010 0	0.164 9	0.002 6	2.495	17	2.470	45
21ZT22-1-153	39.30	22.50	67.10	0.34	10.640 0	0.350 0	0.474 0	0.014 0	0.161 2	0.003 9	2.489	30	2.500	59
21ZT22-1-154	70.00	54.50	116.20	0.47	10.810 0	0.150 0	0.472 9	0.009 0	0.164 5	0.002 1	2.505	13	2.496	39
21ZT22-1-155	45.50	25.70	76.20	0.34	10.890 0	0.220 0	0.475 8	0.011 0	0.164 6	0.004 3	2.511	19	2.508	48
21ZT22-1-153	278.90	674.20	319.60	2.11	11.250 0	0.160 0	0.492 0	0.010 0	0.164 8	0.002 1	2.543	13	2.579	45
21ZT22-1-9	65.60	55.20	107.80	0.51	10.710 0	0.190 0	0.473 6	0.010 0	0.162 3	0.003 2	2.496	17	2.498	44
21ZT22-1-37	147.70	80.40	247.60	0.32	10.840 0	0.140 0	0.479 8	0.009 3	0.166 1	0.001 9	2.508	12	2.526	40
21ZT22-1-66	33.20	24.90	57.70	0.43	11.040 0	0.180 0	0.480 4	0.009 5	0.167 7	0.002 5	2.523	15	2.528	41
21ZT22-1-67	133.70	75.60	223.50	0.34	10.900 0	0.120 0	0.480 6	0.009 3	0.165 7	0.001 9	2.513	10	2.529	40
21ZT22-1-80	60.90	49.50	97.40	0.51	10.870 0	0.220 0	0.479 4	0.011 0	0.166 1	0.003 1	2.513	20	2.524	49
21ZT22-1-147	74.50	51.80	127.90	0.40	10.820 0	0.250 0	0.470 4	0.012 0	0.164 8	0.003 2	2.505	21	2.484	50
21ZT22-1-158	44.40	41.20	73.60	0.56	10.790 0	0.270 0	0.472 2	0.011 0	0.162 8	0.003 5	2.500	23	2.498	50

稀土元素相对亏损，而重稀土元素相对富集的特征，但不同测点轻稀土元素亏损与重稀土富集程度存在一些差异，其 $\text{Lu}_{\text{N}}/\text{Sm}_{\text{N}}$ 值为7.56~230.30，有的碎屑锆石稀土元素配分模式显示重稀土元素明显上翘；148个碎屑锆石多数具有正Ce异常与负Eu异常，但不同测点存在一些差异， Ce/Ce^* 值为1.11~364.56， Eu/Eu^* 值为0.05~1.09。石英岩中12个变质重结晶型锆石的稀土元素总含量较高，为 271.93×10^{-6} ~ 740.36×10^{-6} (图8f, 表4)，在球粒陨石标准化稀土元素配分图中，它们轻稀土元素亏损，而重稀土元素富集，相应的 $\text{Lu}_{\text{N}}/\text{Sm}_{\text{N}}$ 值为42.99~92.57(表4)；12个变质重结晶型锆石具有明显的正Ce异常与负Eu异常，但不同测点存在一些微小的差异， Ce/Ce^* 值为14.65~84.40， Eu/Eu^* 值为42.99~92.57。

7 锆石Hf同位素特征

在锆石U-Pb测年的基础上，选择了51个新太古代晚期岩浆型碎屑锆石进行了原位Lu-Hf同位素分析，其具体分析结果见表5。可以明显看出，51个测点的 $^{176}\text{Lu}/^{177}\text{Hf}$ 值为0.000 384~0.001 917， $^{176}\text{Hf}/^{177}\text{Hf}$ 值为0.281 240~0.281 441。利用每个锆石测点已获得的 $^{207}\text{Pb}/^{206}\text{Pb}$ 年龄进行计算，获得 $^{176}\text{Hf}/^{177}\text{Hf}$ 值为0.281 209~0.281 349， $\varepsilon\text{Hf}(t)$ 值为1.36~6.37，一阶段和两阶段模式年龄分别为2 779~2 592 Ma和2 950~2 629 Ma(图9)。

8 讨论

8.1 官都岩群沉积时代

官都岩群是赞皇杂岩中重要的变质地层单元之一，其沉积时代的准确限定对于客观恢复赞皇杂岩与华北克拉通中部造山带新太古代-古元古代构造演化历史具有重要的意义，但有关其形成时代目前还存在不同认识。早期在开展赞皇地区1:20万区域地质调查时将赞皇岩群自下而上划分为放甲铺组、北赛组、红鹤组与石家庄组(河北省地质矿产局，1989；王启超等，2008)。1:5万临城幅等区域地质调查与新编的1:50万河北省地质图认为赞皇地区存在以红鹤组二段角闪质岩层为核部的倒转向斜，并将红鹤组改名为“官都组”或“官都群”；同时指出官都岩群与新太古代变质侵入体之间为不整合接触

关系，而侵入官都岩群的黄岱岩体的锆石U-Pb一致线年龄为2 210 Ma(王启超等，2008)。因此，结合赞皇地区太古宙地质体多数U-Pb、Sm-Nd年龄在2 450 Ma左右，1:5万临城幅等区域地质调查报告推测官都岩群的形成时代可能为2 450~2 061 Ma(王启超等，2008)。

近年来，不同学者对官都岩群与黄岱花岗岩岩体进行了SHRIMP或LA-ICP-MS锆石U-Pb测年。其中，Tang等(2016)对官都岩群大理岩开展了锆石U-Pb测年，获得了13个锆石U-Pb年龄，并认为官都岩群的沉积时代为2 033~1 900 Ma；Li等(2016)对官都岩群泥质片岩也开展了类似的工作，亦认为官都岩群沉积时代为古元古代。值得指出的是，Tang等(2016)与Li等(2016)尽管对官都岩群开展了碎屑锆石U-Pb测年，但由于测点数相对较少，且对于经历了高绿片岩相-高角闪岩相变质的官都岩群而言，其获得碎屑锆石的最小一组表面年龄可能比其真实年龄偏小，提出官都岩群形成属于古元古代的认识值得商榷。

Wang等(2015)与李伦等(2017)对侵入官都岩群的黄岱岩体开展系统的锆石U-Pb测年，从4个样品岩浆锆石中获得了十分一致的U-Pb年龄，分别为 $2\ 517 \pm 20$ Ma、 $2\ 513 \pm 13$ Ma、 $2\ 506 \pm 10$ Ma与 $2\ 488 \pm 6$ Ma，并根据黄岱岩体局部侵入官都岩群的野外地质关系，推测官都岩群的形成时代为太古宙，而非古元古代。

本文对官都岩群中黑云变粒岩与石英岩中碎屑锆石开展了系统U-Pb测年，并获得了271个有效的碎屑锆石年龄，2个样品获得最年轻一组碎屑锆石中靠近谐和线附近且最大 $^{206}\text{Pb}/^{206}\text{Pb}$ 加权平均年龄分别为 $2\ 544 \pm 9$ Ma与 $2\ 536 \pm 4$ Ma，大致限定了官都岩群的最大沉积时代。结合区域上，官都岩群被黄岱花岗岩岩体侵入的地质关系(Wang et al., 2017a；李伦等，2017)，初步限定官都岩群的沉积时代为新太古代末期，但更准确的沉积时代及其与赞皇岩群的关系有待进一步研究。

8.2 官都岩群物质源区

从官都岩群碎屑锆石阴极发光图像与稀土元素配分曲线图(图4, 图6)可以明显看出，绝大多数碎屑锆石发育典型的岩浆震荡环带与岩浆锆石稀土元素配分模式，指示官都岩群的物源区主要来自中酸性岩浆岩。此外，TIMA矿物相扫描分析结果(图5, 图7)表明，在官都岩群部分碎屑锆石内部含有长英

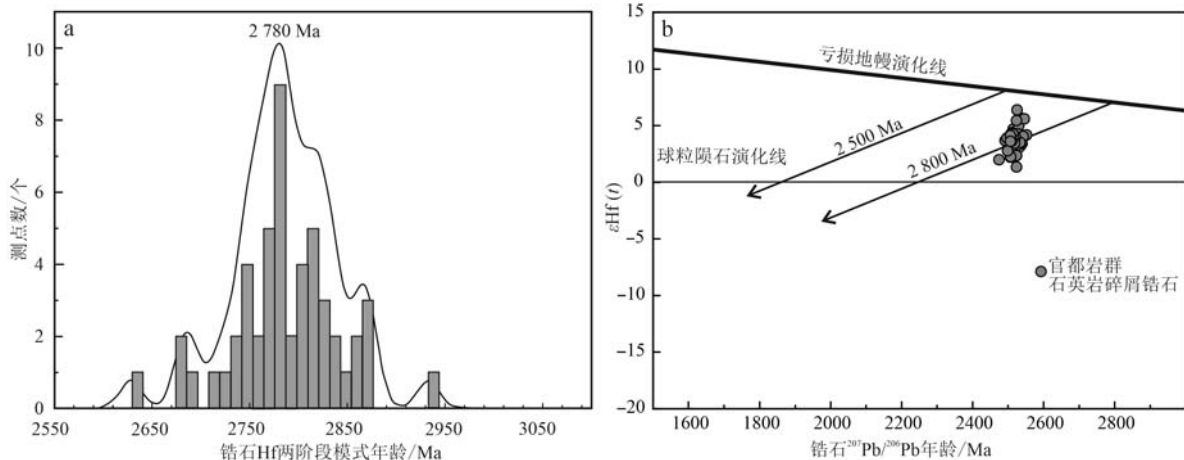


图9 赞皇杂岩官都岩群黑云变粒岩与石英岩中锆石Hf两阶段模式年龄直方图(a)与 $\varepsilon\text{Hf}(t)-^{207}\text{Pb}/^{206}\text{Pb}$ 年龄关系图(b)

Fig. 9 Histogram with frequency distribution diagram (a) of the zircon Hf two stage model ages and plots of zircon $\varepsilon\text{Hf}(t)-^{207}\text{Pb}/^{206}\text{Pb}$ age (b) for the biotite leptynite and quartzite from Guandu Group in the Zanhuan Complex

质矿物包体，如钾长石+斜长石+石英+黑云母+绿泥石+磁铁矿等(图7)，进一步证明赞皇地区官都岩群的物源区主要为中酸性岩浆岩。

从图10可以明显看出，赞皇地区官都岩群307颗碎屑锆石的 $^{207}\text{Pb}/^{206}\text{Pb}$ 年龄组成的年龄频率直方图显示其主峰年龄为2 512 Ma，但其中也保留少量2 700~2 650 Ma的碎屑锆石年龄信息。赞皇地区新太古代晚期2 550~2 500 Ma岩浆岩分布广泛，主体为TTG片麻岩(杨崇辉等, 2011b, 2015; Wang et al., 2017a; 李伦等, 2017; 赵保强等, 2019)，该阶段的岩浆活动为官都岩群黑云变粒岩和石英岩的原岩提供了重要的物源。从图10还可以看出，官都岩群的碎屑锆石年龄图谱与赞皇岩群相似，以出现新太古代碎屑锆石的主峰年龄为特征，而与甘陶河群的碎屑锆石年龄图谱明显不同，后者以出现新太古代与古元古代中期碎屑锆石年龄为特征，这可能暗示官都岩群与甘陶河群是属于不同沉积时代的变质地层。

锆石Lu-Hf同位素体系具有与Sm-Nd体系相似的特性而广泛应用于岩石的物质演化研究(吴福元等, 2007)。本文所研究的2 550~2 500 Ma碎屑锆石 $\varepsilon\text{Hf}(t)$ 值为1.36~6.37，计算结果位于2 850~2 700 Ma地壳演化线之间(图9)。与自然铅丢失不同，由于早期地质事件引起锆石的铅丢失会导致计算获得 $\varepsilon\text{Hf}(t)$ 值偏低。碎屑锆石两阶段Hf模式年龄主要为2 854~2 629 Ma，对应的峰值年龄为2 780 Ma，与赞皇杂岩主体的新太古代TTG片麻岩

锆石Hf和全岩Nd同位素结果一致。上述有关官都岩群中2 550~2 500 Ma碎屑锆石Hf同位素特征表明，赞皇与华北克拉通其它地区类似(杜利林等, 2020; 王建龙等, 2020)，2 850~2 700 Ma为赞皇杂岩大陆地壳生长的重要阶段。

8.3 构造意义

华北克拉通东部陆块与西部陆块内部广泛发育~2 500 Ma区域变质事件，而在中部造山带内1 950~1 800 Ma变质作用非常强烈(Zhao et al., 2012; Qian et al., 2013; Tang and Santosh, 2018)。因此，长期以来中部造山带被认为是一个典型的古元古代碰撞造山带。如图1所示，近年来，在中部造山带的登峰、赞皇、左权、阜平和恒山等地区陆续发现有新太古代晚期~2 500 Ma变质年龄(程裕淇等, 2004; Xiao et al., 2014; 杨崇辉等, 2015; 肖玲玲等, 2019; 王建龙等, 2020)。利用SHRIMP锆石U-Pb测年技术，程裕淇等(2004)在阜平杂岩长英质麻粒岩中获得2 538±14 Ma的变质年龄；类似地，王建龙等(2020)也在阜平杂岩元坊岩组浅粒岩中获得了2 531±15 Ma的变质年龄。Xiao等(2014)从赞皇杂岩含榴黑云斜长片麻岩变质锆石中获得了2 531±15 Ma变质年龄；肖玲玲等(2019)在左权杂岩3件角闪质片麻岩中分别获得了2 500±9 Ma、2 492±6 Ma与2 507±15 Ma变质年龄。Huang等(2020)在登峰杂岩石榴斜长角闪岩中获得了2 531±15 Ma变质榍石年龄。Qian等(2021)在恒山杂岩TTG质片麻岩中获得了2 501±25 Ma的变质年龄。此外，笔者在怀

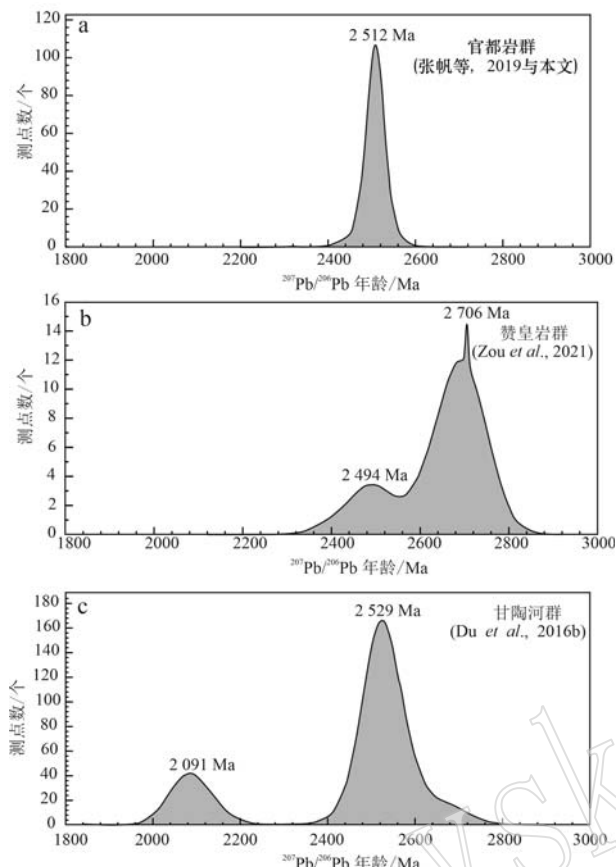


图 10 赞皇杂岩中官都岩群、赞皇岩群和甘陶河群碎屑锆石 U-Pb 年龄频率直方图

Fig. 10 U-Pb age histograms of detrital zircons from the Guandu Group, Zanhuang Group and Gantaohhe Group within the Zanhuang Complex

安杂岩含榴紫苏斜长片麻岩中也获得了 2501 ± 25 Ma 的变质年龄(刘平华等, 未发表数据)。

本文在官都岩群黑云变粒岩和石英岩变质锆石中均获得了新太古代晚期变质年龄信息, 分别为 2522 ± 34 Ma 与 2501 ± 10 Ma。本文所得变质重结晶锆石微区与核部锆石微区具有清晰的界线, 部分切割或改造了核部锆石, 均指示了变质重结晶锆石的特征(吴元保等, 2004), 说明官都岩群或其源区岩石经历了一次重要的变质事件, 这与前人在官都岩群石英岩中获得一组 2485 ± 9 Ma 的变质年龄相似(张帆等, 2019)。结合区域上在中部造山带登峰、左权、阜平、恒山和怀安地区均陆续报道了新太古代~ 2500 Ma 的变质年龄信息, 表明中部造山带经历了十分强烈的~ 2500 Ma 区域变质作用, 该期变质事件可能与新太古代晚期华北克拉通初步克拉通化有关, 有关其明确的构造意义还有待进一步研究。

9 结论

对官都岩群黑云变粒岩与石英岩中锆石开展了内部矿物包体、U-Pb 测年、锆石 Hf 同位素与稀土元素的综合研究与分析, 结合已发表的相关数据, 获得以下初步认识:

(1) 根据官都岩群黑云变粒岩与石英岩中碎屑锆石内部矿物包体、阴极发光图像结构与 U-Pb 年龄结果, 认为碎屑锆石中最年轻一组谐和的 $^{207}\text{Pb}/^{206}\text{Pb}$ 年龄为 2544 Ma 或 2536 Ma, 大致限定了其原岩的最大沉积时代, 结合区内官都岩群被黄盆花岗岩岩体侵入的地质关系, 说明官都岩群的沉积时代为新太古代末期, 而非古元古代。

(2) 官都岩群黑云变粒岩与石英岩碎屑锆石年龄图谱十分相似, 最主要的峰值年龄为 2512 Ma, 说明官都岩群主要物源为新太古代晚期中酸性岩浆岩; 锆石 Hf 同位素分析揭示 $2850 \sim 2700$ Ma 代表赞皇地区最强烈的地壳生长阶段。

(3) 与中部带其它杂岩类似, 官都岩群黑云变粒岩与石英岩中的变质锆石记录了~ 2500 Ma 的变质年龄, 表明华北克拉通中部造山带经历了十分强烈的~ 2500 Ma 区域变质作用, 该期变质事件可能与新太古代晚期华北克拉通初步克拉通化有关。

致谢 感谢南京宏创地质勘查技术服务有限公司袁秋云、武现伟、杜军与李利博士在实验测试过程和数据处理过程中提供的帮助; 感谢中国地质科学院地质研究所张进研究员在论文写作过程中的指导与帮助; 感谢两位审稿专家认真审阅了本文, 并提出了宝贵的修改意见。

本文献给沈其韩院士 100 周岁寿诞, 并向先生始终如一的严谨治学态度和在变质地质学与前寒武纪地质学领域的卓越贡献致敬!

References

- Cheng Yuqi, Yang Chonghui, Wan Yusheng, et al. 2004. Early Precambrian Geologic Feature and Reconstruction of Crustal Rocks by Deep Melting in the Middle-Northern Part of Taihang Mountains [M]. Beijing: Geological Publishing House, 1~191 (in Chinese).
- Diwu Chunrong, Sun Yong, Guo Anlin, et al. 2011. Crustal growth in the North China Craton at 2.5 Ga: Evidence from in situ zircon U-Pb

- ages, Hf isotopes and whole-rock geochemistry of the Dengfeng complex [J]. *Gondwana Research*, 20: 149~170.
- Du Lilin, Yang Chonghui, Song Huixia, et al. 2020. Neoarchean-Paleoproterozoic multi-Stage geological events and their tectonic implications in the Fuping Complex, North China Craton [J]. *Earth Science*, 45(9): 3 179~3 195 (in Chinese with English abstract).
- Du L L, Yang C H, Wyman D A, et al. 2015. Petrogenesis and tectonic implications of the iron-rich tholeiitic basalts in the Hutuo Group of the Wutai Mountains, Central Trans-North China Orogen [J]. *Precambrian Research*, 271: 225~242.
- Du L L, Yang C H, Wyman D A, et al. 2016a. 2 090~2 070 Ma A-type granitoids in Zanhuan Complex: Further evidence on the rift-related tectonic regime in the Trans-North China Orogen [J]. *Lithos*, 254~255: 18~35.
- Du L L, Yang C H, Wyman D A, et al. 2016b. Age and depositional setting of the Paleoproterozoic Gantaoh Group in Zanhuan Complex: Constraints from zircon U-Pb ages and Hf isotopes of sandstones and dacite [J]. *Precambrian Research*, 286: 59~100.
- Du L L, Yang C H, Wyman D A, et al. 2017. Zircon U-Pb ages and Lu-Hf isotope compositions from clastic rocks in the Hutuo Group: Further constraints on Paleoproterozoic tectonic evolution of the Trans-north China Orogen [J]. *Precambrian Research*, 303: 291~314.
- Faure M, Trap P, Lin W, et al. 2007. Polyorogenic evolution of the Paleoproterozoic Trans-North China Belt—New insights from the Lüliangshan-Hengshan-Wutaihan and Fuping massifs [J]. *Episodes*, 30: 96~107.
- Hebei Province Bureau of Geology and Mineral Resources. 1989. Regional Geology of Hebei Province, Beijing Municipality and Tianjin Municipality [M]. Geological Publishing House, 1~741 (in Chinese with English abstract).
- Huang B, Kusky T, Johnsona T E, et al. 2020. Paired metamorphism in the Neoarchean: A record of accretionary-to-collisional orogenesis in the North China Craton [J]. *Earth and Planetary Science Letters*, 543: 116~355.
- Kröner A, Wilde S A, Li J H, et al. 2005. Age and evolution of a late Archean Paleoproterozoic upper to lower crustal section in the Wutaihan/Hengshan/Fuping terrain of northern China [J]. *Journal of Asian Earth Science*, 24: 577~595.
- Kröner A, Wilde S, Zhao G C, et al. 2006. Zircon geochronology and metamorphic evolution of mafic dykes in the Hengshan complex of northern China: Evidence for late Palaeoproterozoic extension and subsequent high-pressure metamorphism in the north China Craton [J]. *Precambrian Research*, 146: 45~67.
- Kusky T, Polat A, Windley B, et al. 2016. Insights into the tectonic evolution of the north China Craton through comparative tectonic analysis: A record of outward growth of Precambrian continents [J]. *Earth-Science Reviews*, 162: 387~432.
- Kusky T M and Li J H. 2003. Paleoproterozoic tectonic evolution of the north China Craton [J]. *Journal of Asian Earth Science*, 22: 383~397.
- Li Lun, Yang Yongqiang, Yang Chonghui, et al. 2017. The petrogenesis and tectonic setting of ca. 2.5 Ga A-type granite in the Zanhuan complex: An example from the Huanghe granite [J]. *Acta Petrologica Sinica*, 33(9): 2 850~2 866 (in Chinese with English abstract).
- Li S S, Santosh M, Teng X M, et al. 2016. Paleoproterozoic arc-continent collision in the North China Craton: Evidence from the Zanhuan Complex [J]. *Precambrian Research*, 286: 281~305.
- Liu C H, Zhao G C, Liu F L, et al. 2012. Zircons U-Pb and Lu-Hf isotopic and whole-rock geochemical constraints on the Gantaoh Group in the Zanhuan Complex: Implications for the tectonic evolution of the Trans-North China Orogen [J]. *Lithos*, 146~147: 80~92.
- McDonough W F and Sun S S. 1995. The composition of the Earth [J]. *Chemical Geology*, 120: 223~253.
- Niu Shuyin, Chen Lu, Xu Chuanshi, et al. 1994. The Crustal Evolution and Metallogenic Regularity of the Taihangshan Area [M]. Beijing: Seismological Press, 1~90 (in Chinese).
- Paton C, Woodhead J D, Hellstrom J C, et al. 2010. Improved laser ablation U-Pb zircon geochronology through robust downhole fractionation correction [J]. *Geochemistry Geophysics Geosystems*, 11: 1~36.
- Qian J H and Li S. 2021. Zircon U-Pb ages for TTG gneiss and a concomitant felsic vein from the south Hengshan Complex, Tran-North China Orogen: New evidence for Late-Archean metamorphism [J]. *Acta Geologica Sinica (English Edition)*, 35(4): 969~988.
- Qian J H, Wei C J, Zhou X W, et al. 2013. Metamorphic *P-T* paths and new zircon U-Pb age data for garnet-mica schist from the Wutai Group, North China Craton [J]. *Precambrian Research*, 233: 282~296.
- Shen Qihan. 2009. The recommendation of a systematic list of mineral abbreviations [J]. *Acta Petrologica et Mineralogica*, 28(5): 495~500 (in Chinese with English abstract).
- Tang L and Santosh M. 2018. Neoarchean-Paleoproterozoic terrane assembly and Wilson cycle in the north china craton: An overview from the central segment of the trans-north china orogen [J]. *Earth-Science Reviews*, 182: 1~27.
- Tang L, Santosh M, Tsunogae T, et al. 2016. Paleoproterozoic meta-carbonates from the central segment of the Trans-North China Orogen:

- Zircon U-Pb geochronology, geochemistry, and carbon and oxygen isotopes[J]. Precambrian Research, 284: 14~29.
- Thompson J, Meffre S and Danyushevsky L. 2018. Impact of air, laser pulse width and fluence on U-Pb dating of zircons by LA-ICPMS[J]. Journal of Analytical Atomic Spectrometry, 33: 221~230.
- Trap P, Faure M, Lin W, et al. 2009a. The Lüliang Massif: A key area for the understanding of the Palaeoproterozoic Trans-North China Belt, North China Craton[J]. Geological Society London Special Publications, 323: 99~125.
- Trap P, Faure M, Lin W, et al. 2009b. The Zanhuang Massif, the second and eastern suture zone of the Paleoproterozoic Trans-north China Orogen[J]. Precambrian Research, 172: 80~98.
- Trap P, Faure M, Lin W, et al. 2012. Paleoproterozoic tectonic evolution of the Trans-north China Orogen: Toward a comprehensive model [J]. Precambrian Research, 222: 191~211.
- Vervoort J D, Patchett P J, Soderlund U, et al. 2004. Isotopic composition of Yb and the determination of Lu concentrations and Lu/Hf by isotope dilution using MC-ICPMS[J]. Geochemistry Geophysics Geosystems, 5: 1~15.
- Wang Jianlong, Song Huixia, Duan Qingsong, et al. 2020. Zircon U-Pb-Hf isotopic characteristics of leptite in the Fuping Group, Hebei Province, and its geological significance [J]. Acta Petrologica et Mineralogica, 39(3): 267~282 (in Chinese with English abstract).
- Wang J P, Kusky T, Wang L, et al. 2015. A Neoarchean subduction polarity reversal event in the North China Craton [J]. Lithos, 220~223: 133~146.
- Wang J P, Kusky T, Wang L, et al. 2017a. Petrogenesis and geochemistry of circa 2.5 Ga granitoids in the Zanhuang Massif: Implications for magmatic source and Neoarchean metamorphism of the North China Craton [J]. Lithos, 268~271: 149~162.
- Wang J P, Kusky T, Wang L, et al. 2017b. Structural relationships along a Neoarchean arc-continent collision zone, North China Craton [J]. Geological Society of America Bulletin, 1~2(129): 59~75.
- Wang Qichao, Wang Qinting, Xiao Wenxian, et al. 2008. Some problems of Archean strata in the Taihang Mountains[J]. Journal of Stratigraphy, 32(4): 439~446 (in Chinese with English abstract).
- Wang Yuejun, Fan Weiming, Guo Feng, et al. 2003. Biotite $^{40}\text{Ar}/^{39}\text{Ar}$ geochronology of the deformational rocks from Zanhuangmetamorphic domain in South Taihang Mountains and their tectonothermal overprinting[J]. Acta Petrologica Sinica, 19(1): 131~140 (in Chinese with English abstract).
- Wang Z, Wilde S A, Wan J, et al. 2010. Tectonic setting and significance of 2.3~2.1 Gagmatic events in the Trans-north China Orogen: New constraints from the Yanmenguan mafic ~ ultramafic intrusion in the Hengshan-Wutai-Fuping area [J]. Precambrian Research, 178: 27~42.
- Wu Fuyuan, Li Xianhua, Zheng Yongfei, et al. 2007. Lu-Hf isotopic systematic and their applications in petrology [J]. Acta Petrologica Sinica, 23(2): 185~220 (in Chinese with English abstract).
- Wu Yuanbao and Zheng Yongfei. 2004. Study on the mineralogy of zircon and its constraints on the interpretation of U-Pb age [J]. Chinese Science Bulletin, 49(16): 1 589~1 604 (in Chinese with English abstract).
- Xiao D, Ning W B, Wang J P, et al. 2021. Neoarchean to Paleoproterozoic tectonothermal evolution of the North China Craton: Constraints from geological mapping and Th-U-Pb geochronology of zircon, titanite and monazite in Zanhuang Massif[J]. Precambrian Research, 359: 105~214.
- Xiao L L, Liu F L, Chen Y, et al. 2014. Metamorphic $P-T-t$ paths of the Zanhuangmetamorphic complex: Implications for the Paleoproterozoic evolution of the Trans-North China Orogen [J]. Precambrian Research, 255: 216~235.
- Xiao Lingling, Liu Fulai and Zhang Jian. 2019. Records and its geological implication of metamorphic ages of ca. 2.5 Ga and ca. 1.9 Ga from the Zuoquan metamorphic complex in the Trans-North China Orogen [J]. Acta Petrologica Sinica, 35(4): 969~988 (in Chinese with English abstract).
- Xiao L L, Wu C M, Zhao G C, et al. 2011. Metamorphic $P-T$ paths of the Zanhuang amphibolitic gneisses and metapelitic gneisses: Constraints onthe tectonic evolution of the Paleoproterozoic Trans-North China Orogen [J]. International Journal of Earth Sciences, 100: 717~739.
- Xie H Q, Liu D Y, Yin X Y, et al. 2012. Formation age and tectonic environment of the Gantaohe Group, North China Craton: Geology, geochemistry, SHRIMP zircon geochronology and Hf-Nd isotopic systematics[J]. Chinese Science Bulletin, 57: 4 735~4 745.
- Yang Chonghui, Du Lilin, Ren Liudong, et al. 2011a. The age and petrogenesis of the Xuting granite in theZanhuang Complex, Hebei Province: Constraints on the structuralevolution of the Trans-North China Orogen, North China Craton[J]. Acta Petrologica Sinica, 27(4): 1 003~1 016 (in Chinese with English abstract).
- Yang Chonghui, Du Lilin, Ren Liudong, et al. 2011b. Petrogenesis and geodynamic setting of Jiandeng potassic granite at the end of the Neoarchean in Zanhuang Complex, North China Craton[J]. Earth Science Frontiers, 18(2): 62~78 (in Chinesewith English abstract).
- Yang C H, Du L L, Ren L D, et al. 2013. Delineation of the ca. 2.7 Ga TTG gneisses in the Zanhuang Complex, North China Craton and its geological implications[J]. Journal of Asian Earth Science, 72: 178

~189.

- Yang Chonghui, Du Lilin, Ren Liudong, et al. 2015. Early Precambrian Stratigraphic Division and Magmatic Evolution in the North China Craton [M]. Beijing: Science Press, 1~277 (in Chinese).
- Zhang Fan, Wang Yanbin, Yang Chonghui, et al. 2019. SHRIMP U-Pb zircon dating of clastic sedimentary rocks of the Guandu Group, Zanhuang Complex, Hebei Province, and its geological significance [J]. Geological Bulletin of China, 38(8): 1 335~1 343 (in Chinese with English abstract).
- Zhang J, Zhao G, Li S, et al. 2007. Deformation history of the Hengshan complex: Implications for the tectonic evolution of the Trans-North China Orogen [J]. Journal of Structural Geology, 29: 933~949.
- Zhang J, Zhao G, Li S, et al. 2009. Polyphase deformation of the Fuping complex, Trans-North China Orogen: Structures, SHRIMP U-Pb zircon ages and tectonic implications [J]. Journal of Structural Geology, 31: 177~193.
- Zhai M G and Santosh M. 2011. The early Precambrian odyssey of the North China Craton: A synoptic overview [J]. Gondwana Research, 20: 6~25.
- Zhai M G and Santosh M. 2013. Metallogeny of the North China Craton: Link with secular changes in the evolving earth [J]. Gondwana Research, 24: 275~297.
- Zhao Baoqiang, Wang Kebing, Li Feng, et al. 2019. Study on the genesis and age about Baihuzhuang gneiss of Zanhuang Complex [J]. Journal of Hebei GEO University, 42(1): 37~45 (in Chinese with English abstract).
- Zhao G C, Cawood P A, Li S, et al. 2012. Amalgamation of the North China Craton: Key issues and discussion [J]. Precambrian Research, 222: 55~76.
- Zhao G C, Sun M, Wilde S A, et al. 2005. Late Archean to Paleoproterozoic evolution of the North China Craton: Key issues revisited [J]. Precambrian Research, 136: 177~202.
- Zhao G C and Zhai M. 2013. Lithotectonic elements of Precambrian basement in the North China Craton: Review and tectonic implications [J]. Gondwana Research, 23: 1 207~1 240.
- Zhong Y T, Kusky T, Wang L, et al. 2021. Alpine-style nappes thrust over ancient North China continental margin demonstrate large Archean horizontal plate motions [J]. Nature Communications, 12: 6 172.
- Zou L, Guo J H, Yang C H, et al. 2021. The $P-T-t$ path of pelitic gneisses in the Zanhuang Complex: Further constraints on the Palaeoproterozoic tectonic evolution of the Trans-North China Orogen, North China Craton [J]. Journal of Asian Earth Sciences, 210(5): 104~701.

附中文参考文献

- 程裕淇, 杨崇辉, 万渝生, 等. 2004. 太行山中北段早前寒武纪地质和深熔作用对地壳岩石的改造 [M]. 北京: 地质出版社, 1~191.
- 杜利林, 杨崇辉, 宋会侠, 等. 2020. 华北克拉通阜平杂岩新太古代~古元古代多期地质事件及其构造性质 [J]. 地球科学, 45(9): 3 179~3 195.
- 河北省地质矿产局. 1989. 河北省北京市天津市区域地质志 [M]. 北京: 地质出版社, 1~741.
- 李伦, 杨永强, 杨崇辉, 等. 2017. 赞皇地区~2.5 Ga A型花岗岩的成因及构造背景: 以黄岱岩体为例 [J]. 岩石学报, 33(9): 2 850~2 866.
- 牛树银, 陈路, 许传诗, 等. 1994. 太行山区地壳演化及成矿规律 [M]. 北京: 地震出版社, 1~90.
- 沈其韩. 2009. 推荐一个系统的矿物缩写表 [J]. 岩石矿物学杂志, 28(5): 495~500.
- 王建龙, 宋会侠, 段庆松, 等. 2020. 河北阜平杂岩中阜平岩群浅粒岩锆石 U-Pb-Hf 同位素特征及其地质意义 [J]. 岩石矿物学杂志, 39(3): 267~282.
- 王启超, 王琴廷, 肖文暹, 等. 2008. 太行山区的一些太古宙地层问题剖析 [J]. 地层学杂志, 32(4): 439~446.
- 王岳军, 范蔚茗, 郭峰, 等. 2003. 赞皇变质穹隆黑云母 $^{40}\text{Ar}/^{39}\text{Ar}$ 年代学研究及其对构造热事件的约束 [J]. 岩石学报, 19(1): 131~140.
- 吴福元, 李献华, 郑永飞, 等. 2007. Lu-Hf 同位素体系及其岩石学应用 [J]. 岩石学报, 23(2): 185~220.
- 吴元保, 郑永飞. 2004. 锆石成因矿物学研究及其对 U-Pb 年龄解释的制约 [J]. 科学通报, 49(16): 1 589~1 604.
- 肖玲玲, 刘福来, 张健. 2019. 华北中部造山带左权变质杂岩 ca. 2.5 Ga 和 ca. 1.9 Ga 变质年龄记录及其地质意义 [J]. 岩石学报, 35(4): 969~988.
- 杨崇辉, 杜利林, 任留东, 等. 2011a. 河北赞皇地区许亭花岗岩的时代及成因: 对华北克拉通中部带构造演化的制约 [J]. 岩石学报, 27(4): 1 003~1 016.
- 杨崇辉, 杜利林, 任留东, 等. 2011b. 赞皇杂岩中太古宙末期管等钾质花岗岩的成因及动力学背景 [J]. 地学前缘, 18(2): 62~78.
- 杨崇辉, 杜利林, 任留东, 等. 2015. 华北克拉通早前寒武纪地层划分对比及岩浆演化 [M]. 北京: 科学出版社, 1~277.
- 张帆, 王彦斌, 杨崇辉, 等. 2019. 河北赞皇杂岩官都群碎屑沉积岩锆石 SHRIMP U-Pb 定年及其地质意义 [J]. 地质通报, 38(8): 1 335~1 343.
- 赵保强, 王克冰, 李锋, 等. 2019. 赞皇杂岩中白虎庄片麻岩成因及时代研究 [J]. 河北地质大学学报, 42(1): 37~45.